

Apêndice

Detonações Realizadas no Canteiro de Obras da UHE Santo Antônio

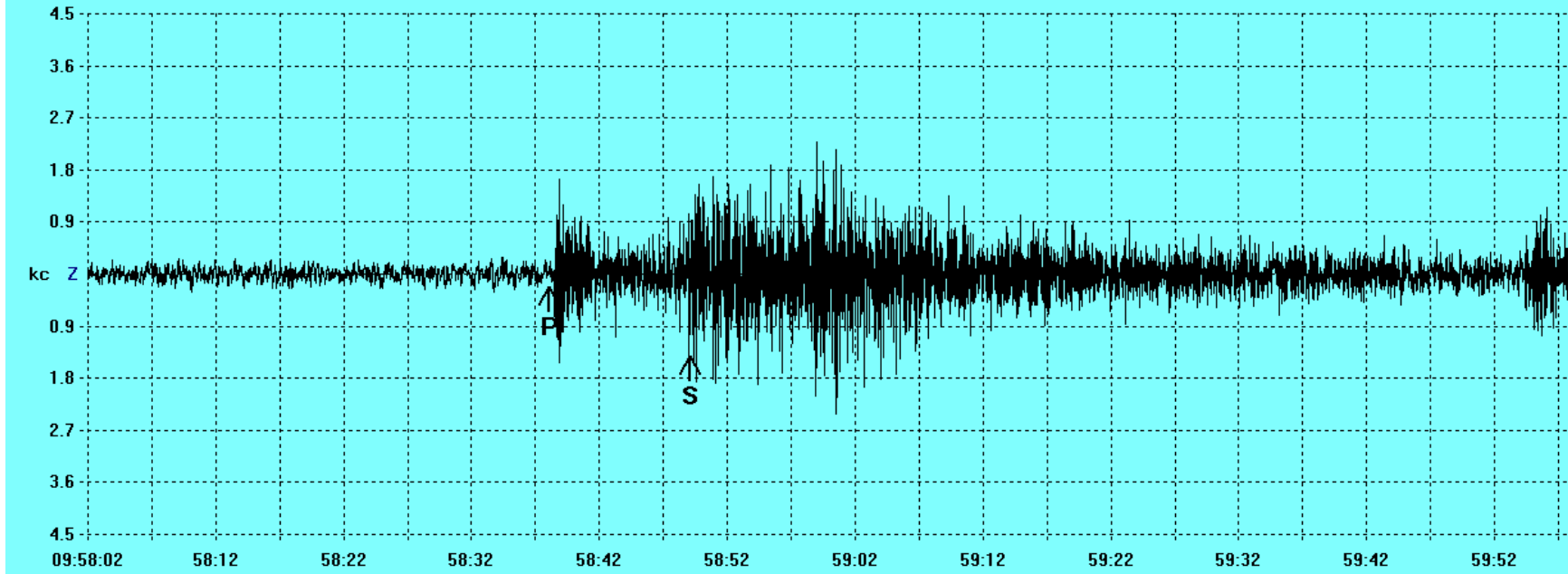
Setembro 2012 Registros das Estações SAML, SANT1 e SANT2

Observação

Todos os registros da estação SAML mostrados nesta seção foram filtrados com um filtro do tipo high-pass (acima de 1.0 Hz, com 4 polos). Quando foi empregado outro tipo de filtro, o procedimento foi indicado em cada caso. Todos os registros das estações SANT1 e SANT2 mostrados nesta seção foram filtrados com um filtro do tipo high-pass acima de 0.1 Hz.

Registro de SAML:

Start: 9/05/12 8:59:59 UTC Station: SAML 8.9489S 63.1831W Samples: 144001 SPS: 39.999999
Max/Min: 82029/-89127 X: 1:56.0 Y: 4.5kc
Org: 9:58:23.2 P: 9:58:38.1 S: 9:58:49.1 Diff: 11.0sec Dist: 0.772deg 85.8km 53.3mi Mag: MI?? JB: 33

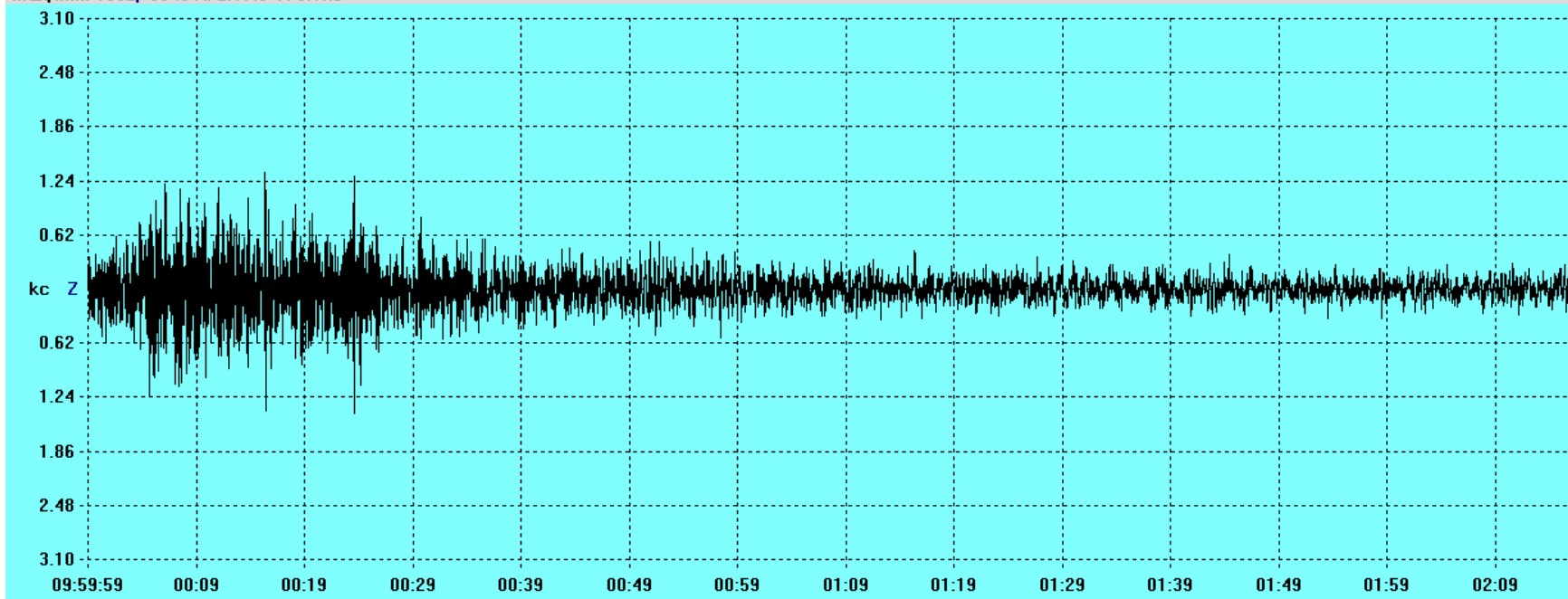


Evento 1

Registro da hora consecutiva do sismograma acima:

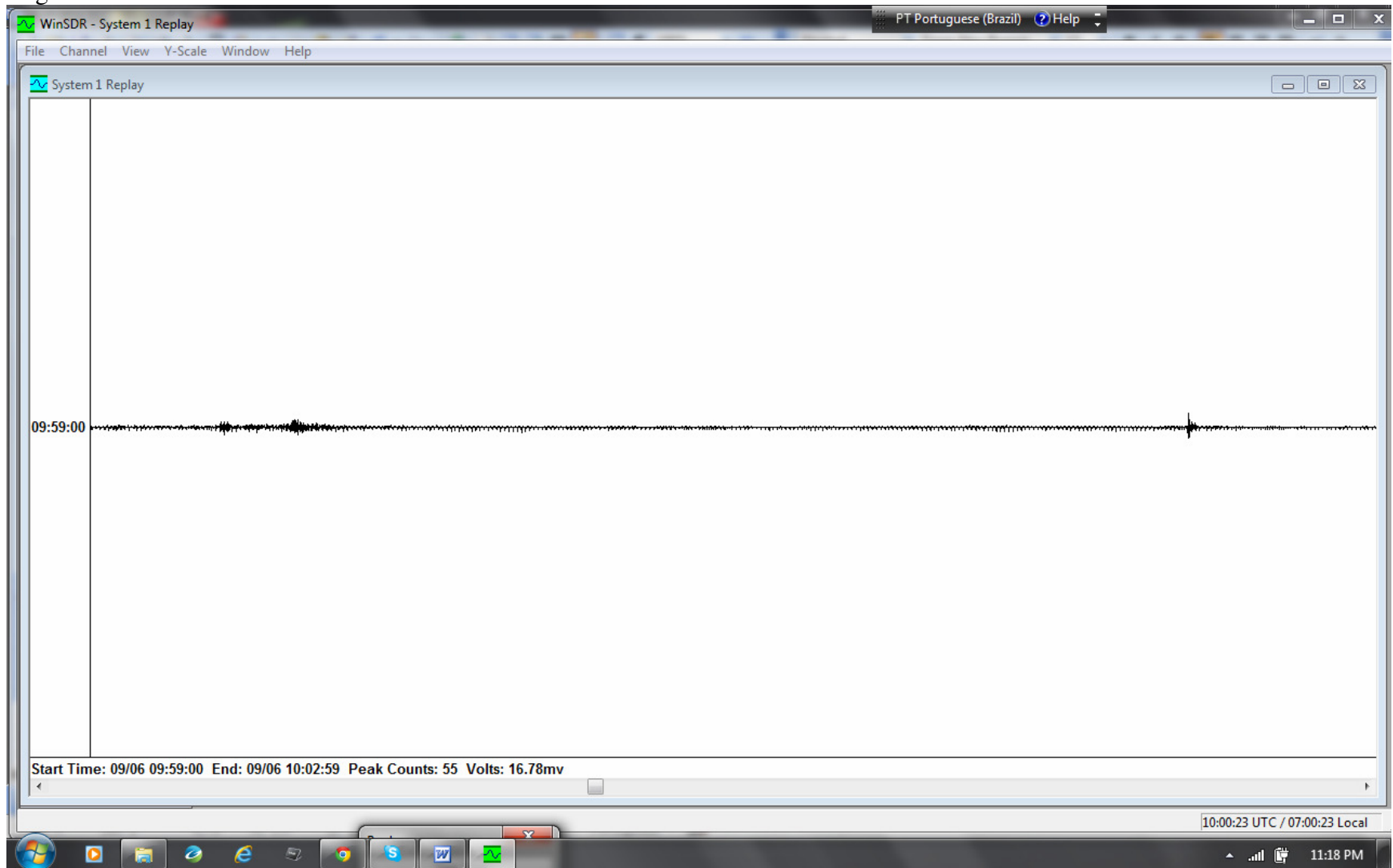
Start: 9/05/12 9:59:59 UTC Station: SAML 8.9489S 63.1831W Samples: 144001 SPS: 39.999999

Max/Min: 1992/-3040 X: 2:17.0 Y: 3.1kc

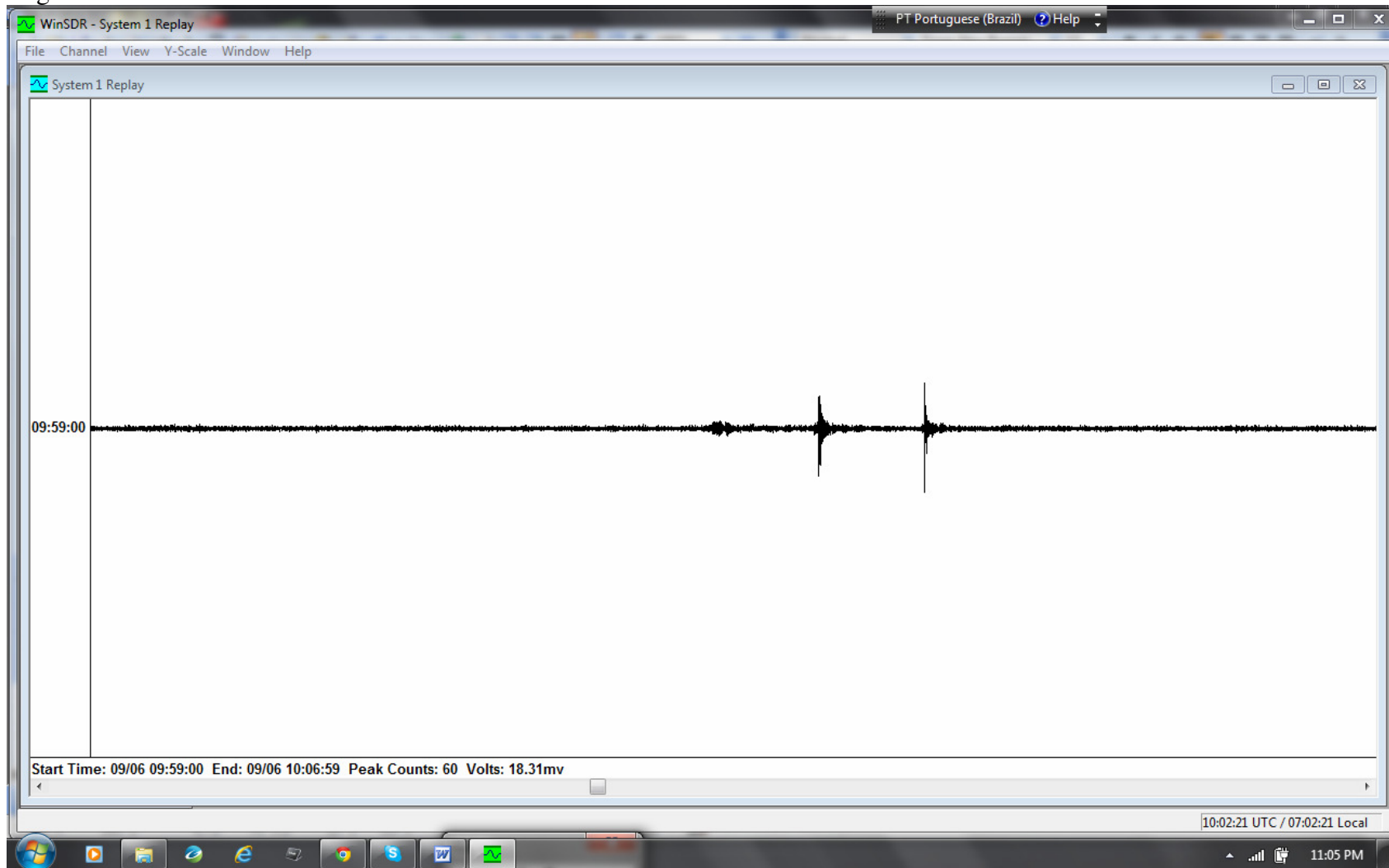


Evento 1

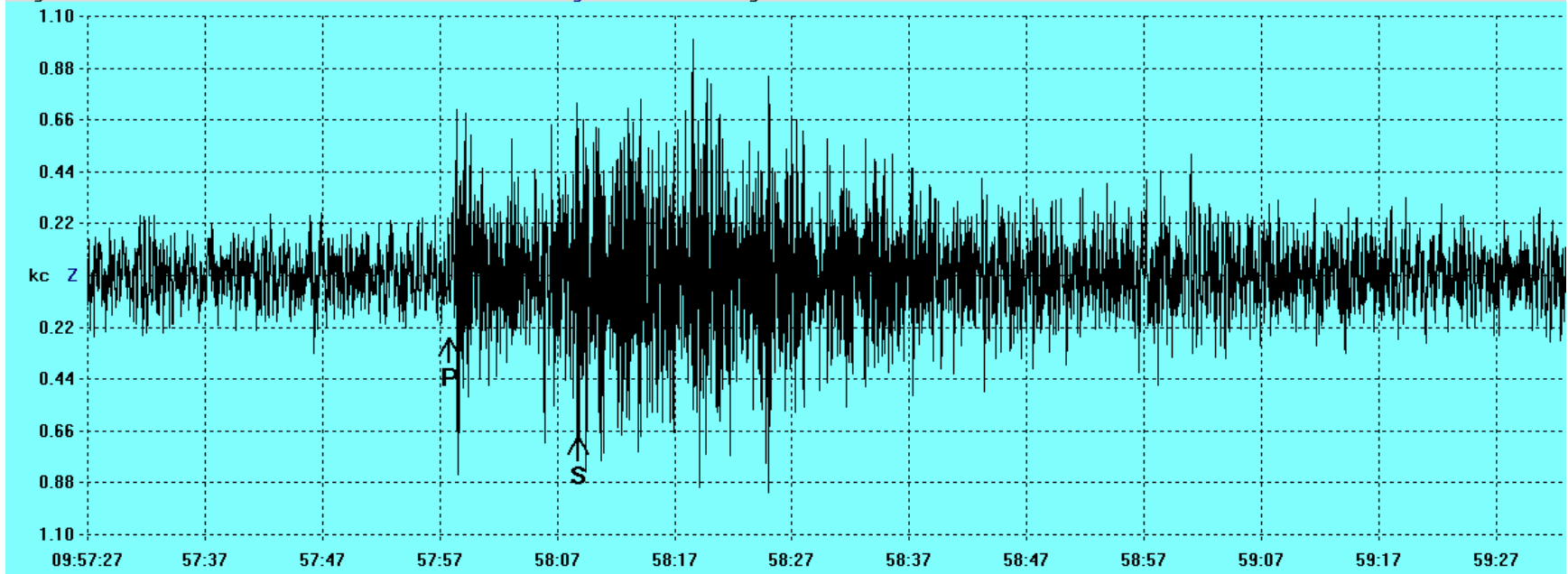
Registro de SANT1:



Registro de SANT2:

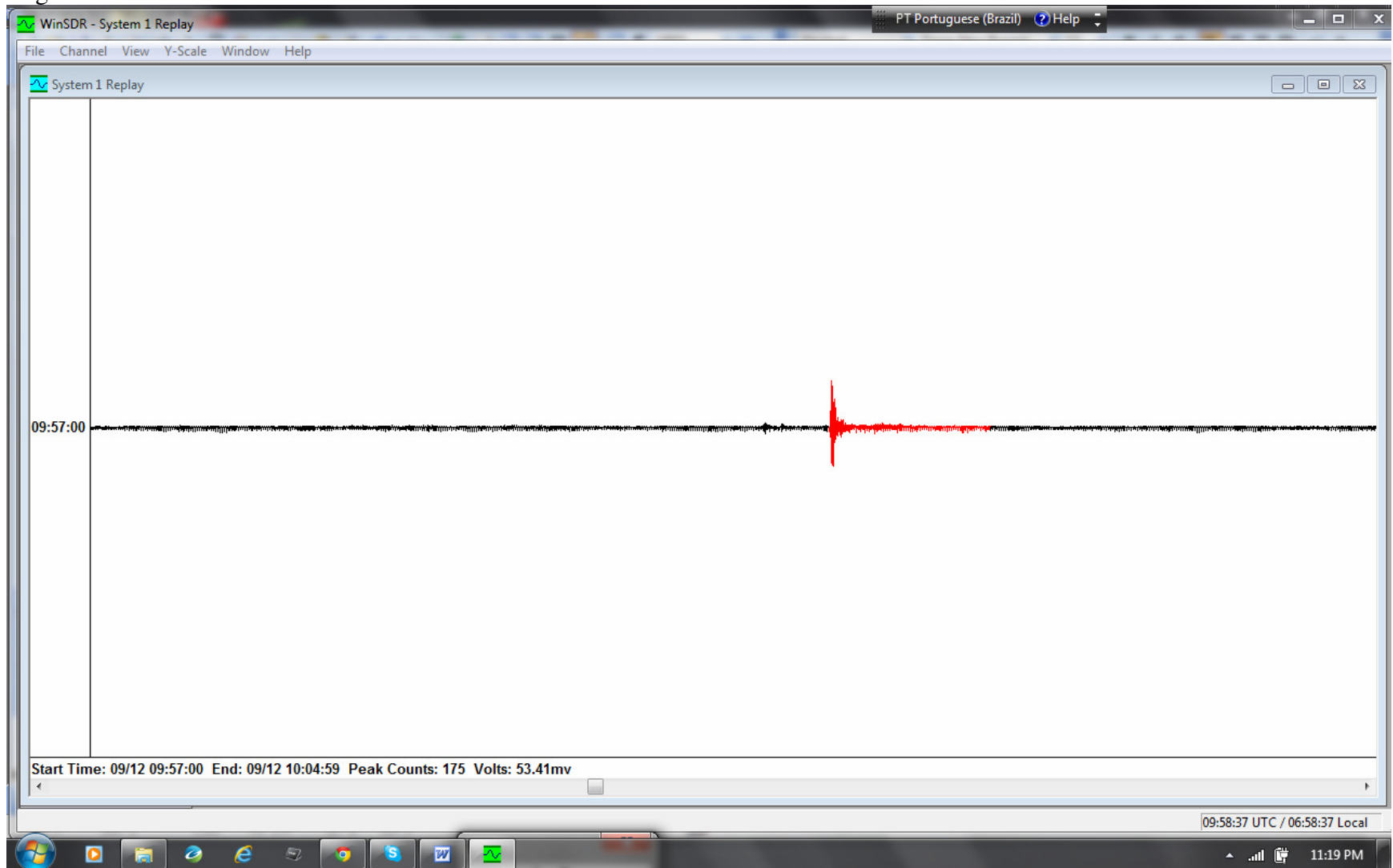


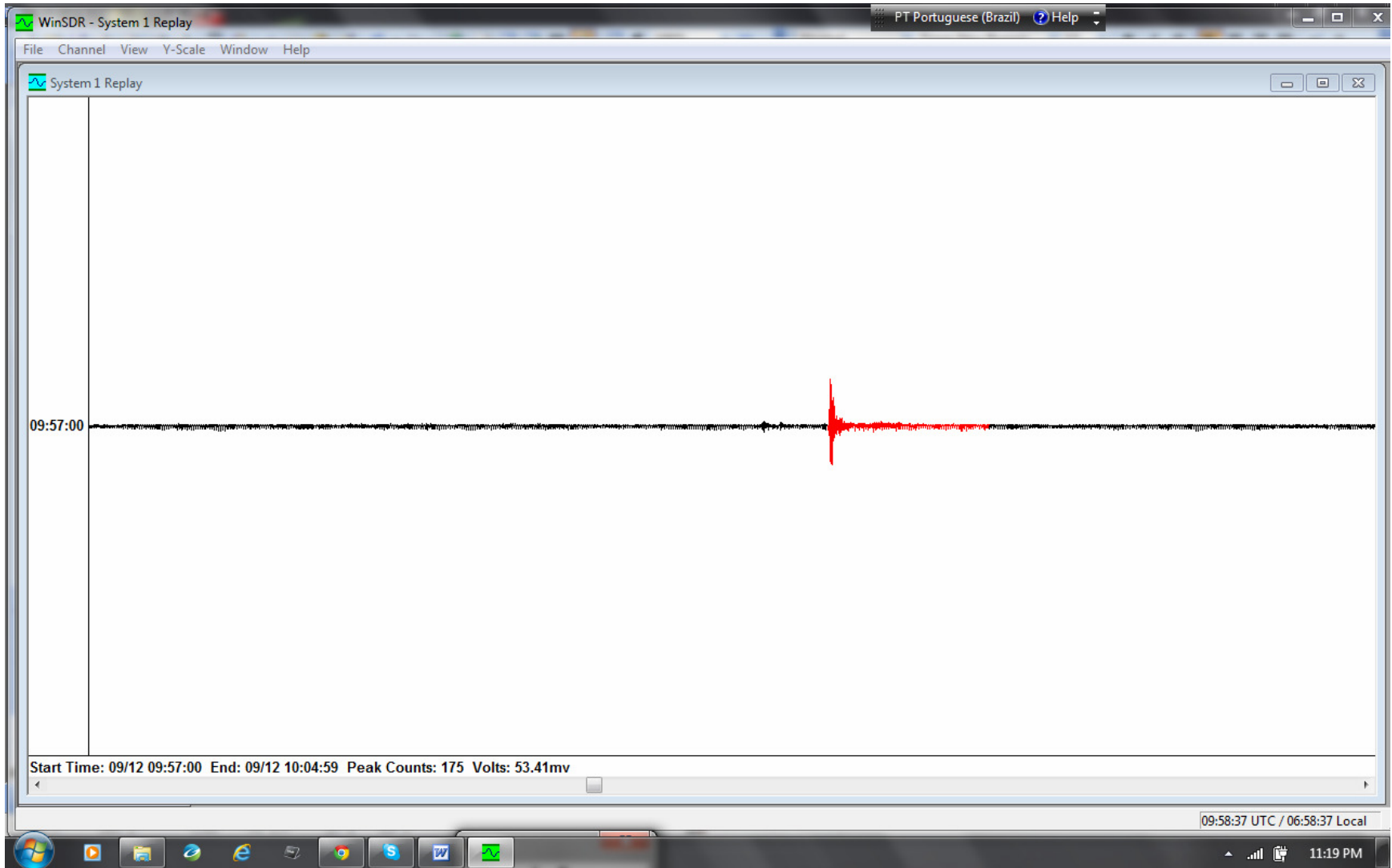
Start: 9/11/12 8:59:59 UTC Station: SAML 8.9489S 63.1831W Samples: 144001 SPS: 39.999999
Max/Min: 1000/-918 X: 2.06.0 Y: 1.1kc
Org: 9:57:42.9 P: 9:57:57.8 S: 9:58:08.8 Diff: 11.0sec Dist: 0.772deg 85.8km 53.3mi Mag: MI?? JB: 33

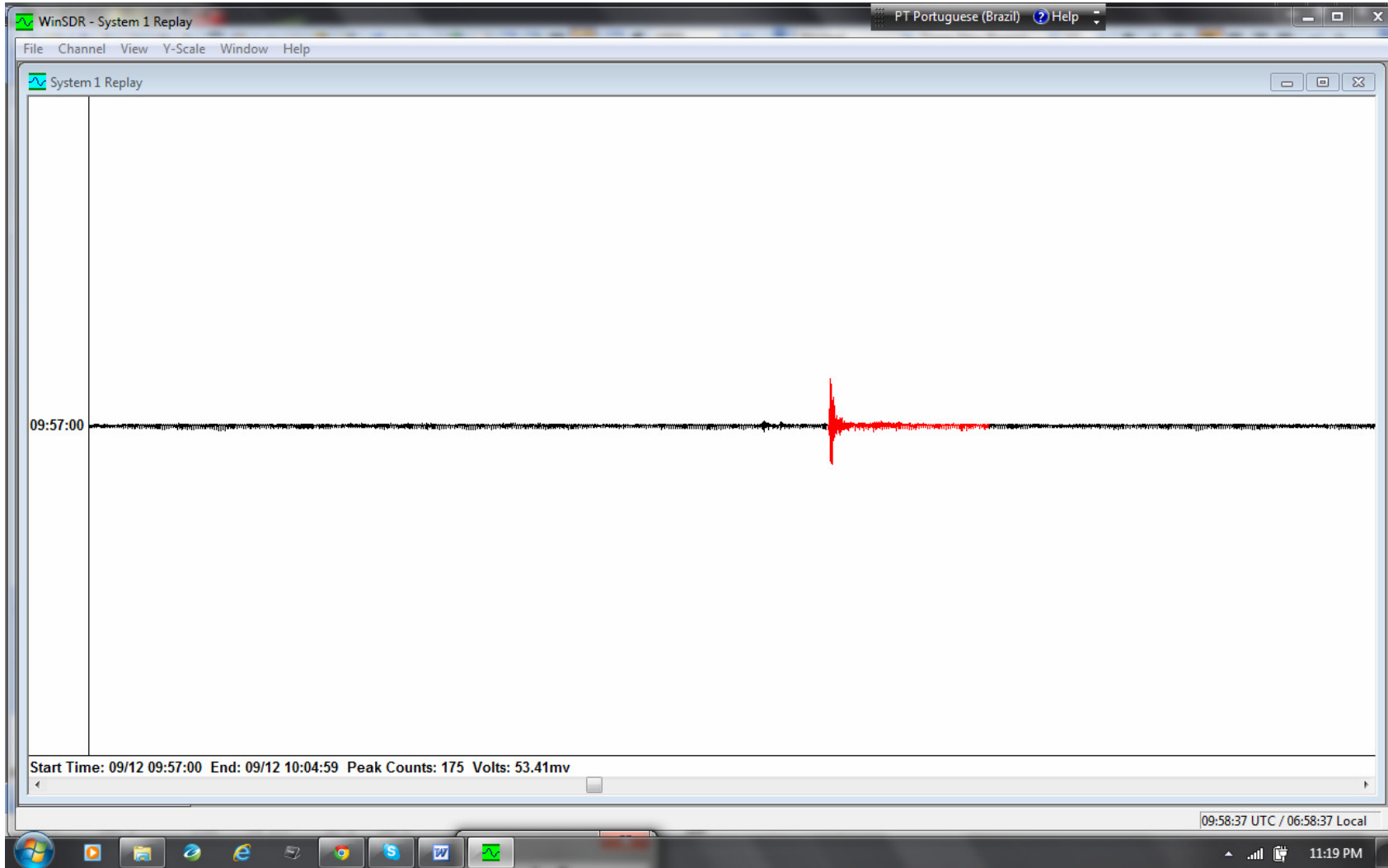


Evento 2

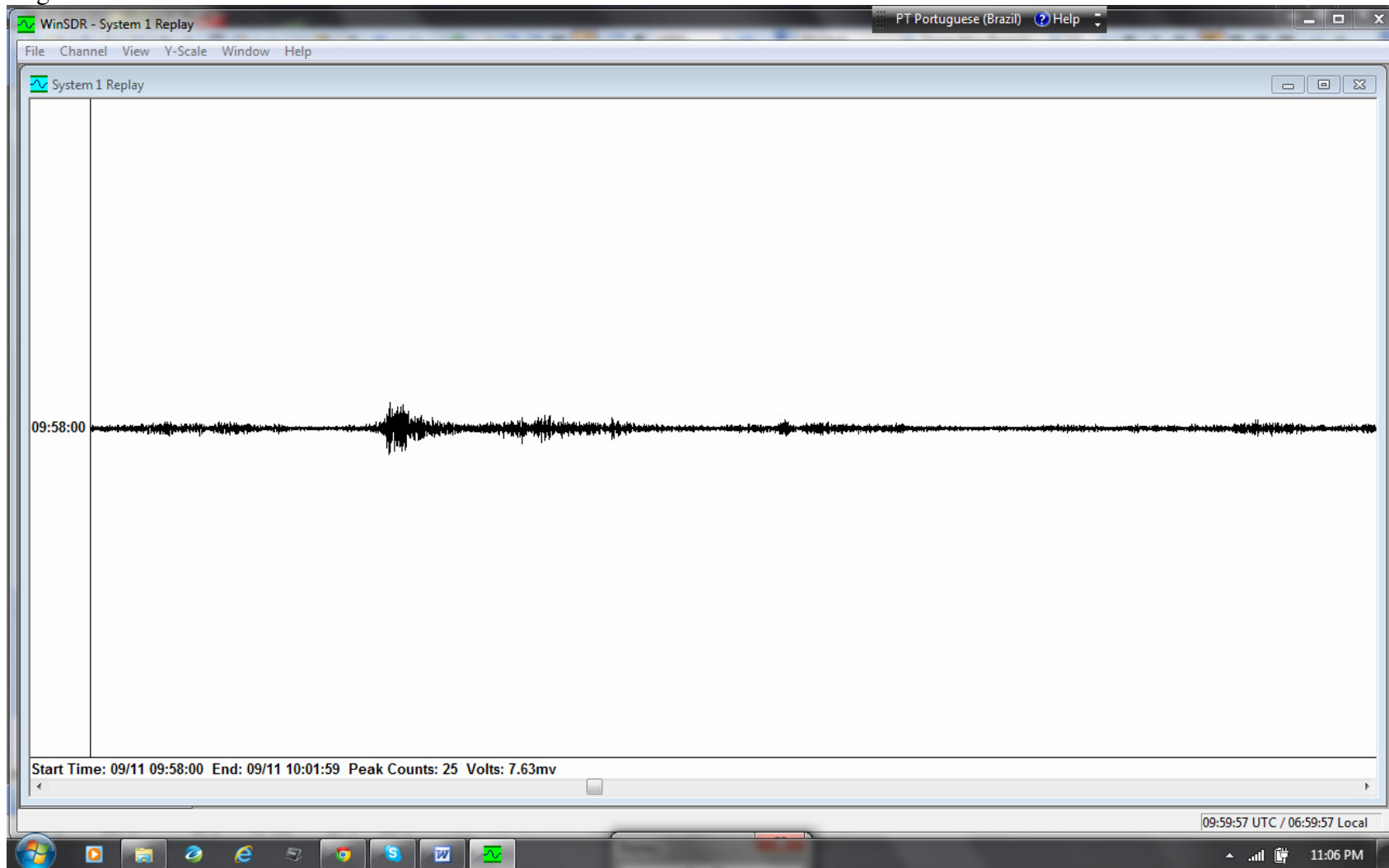
Registro de SANT1:



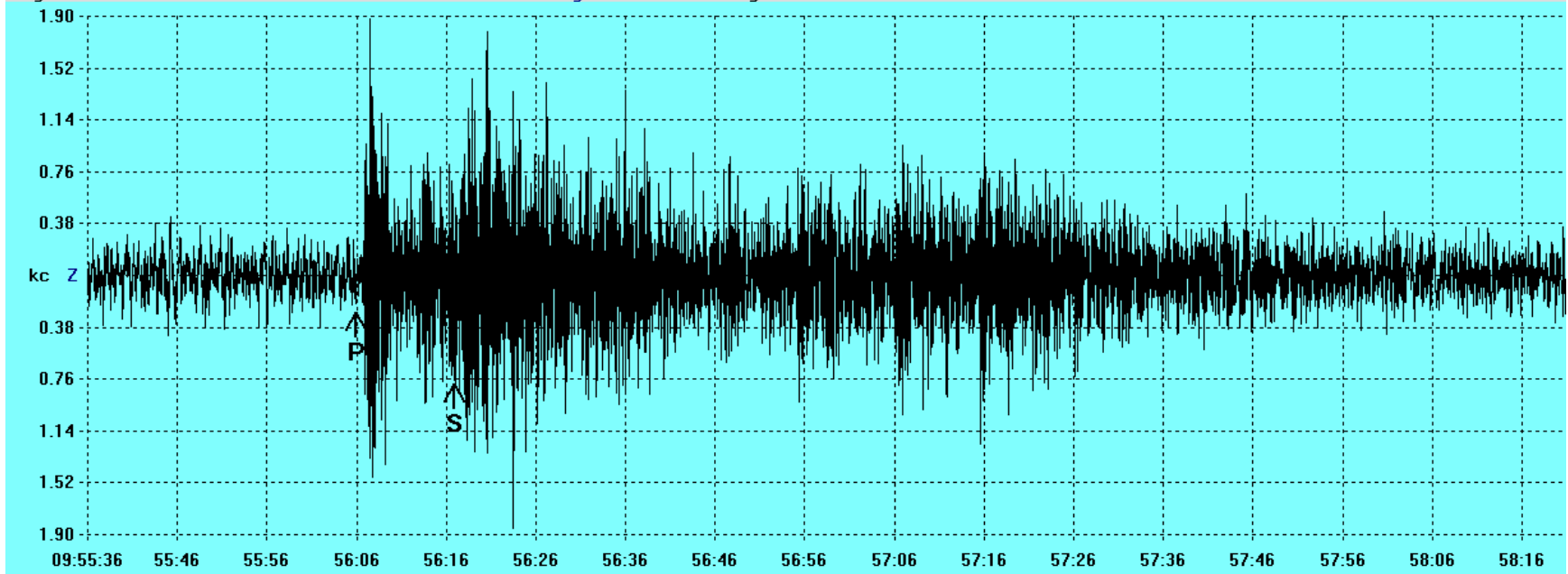




Registro de SANT2:



Start: 9/18/12 8:59:59 UTC Station: SAML 8.9489S 63.1831W Samples: 144001 SPS: 39.999999
Max/Min: 1880/-1851 X: 2.45.0 Y: 1.9kc
Org: 9:55:51.0 P: 9:56:05.9 S: 9:56:16.9 Diff: 11.0sec Dist: 0.772deg 85.8km 53.3mi Mag: MI?? JB: 33

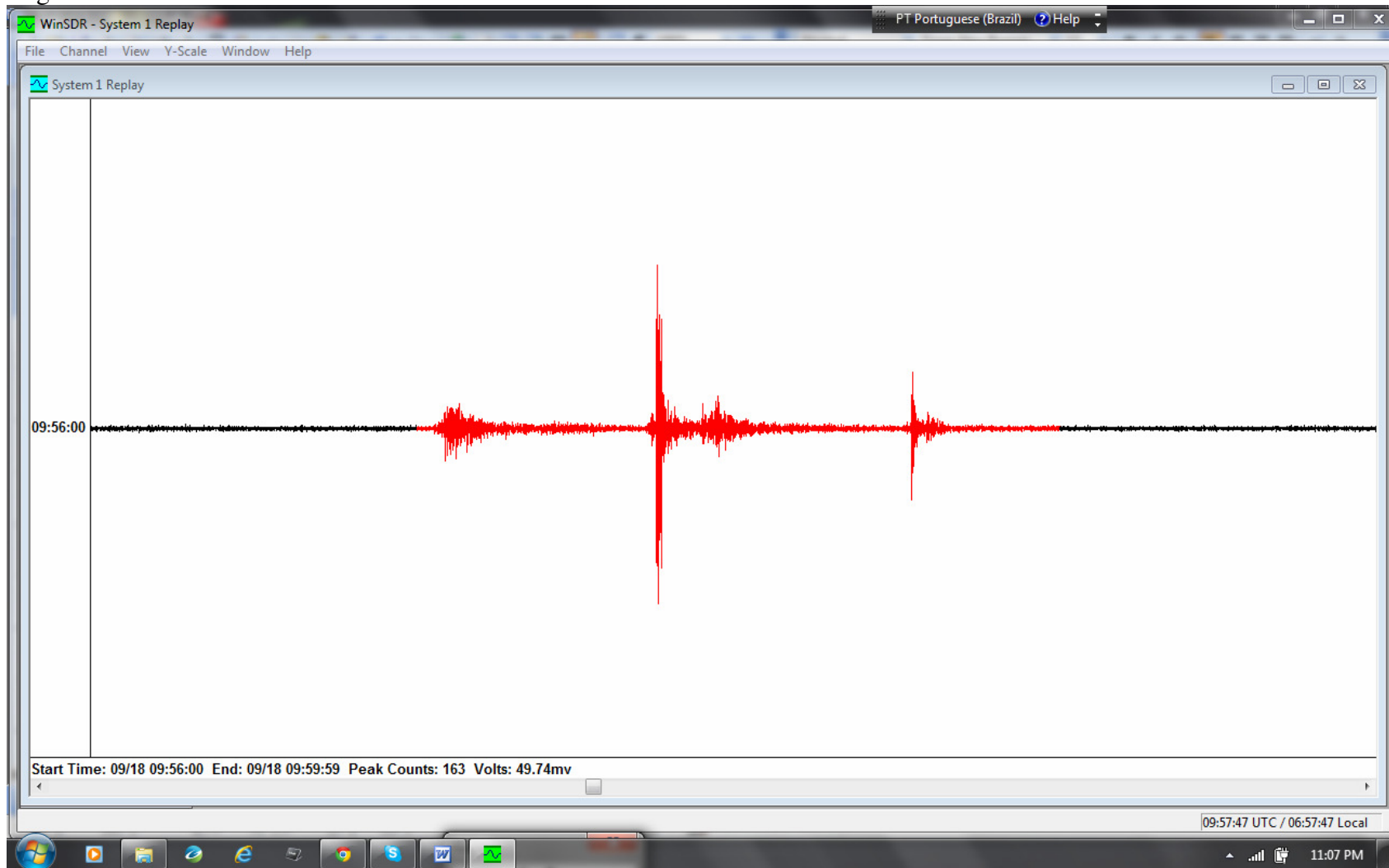


Evento 3

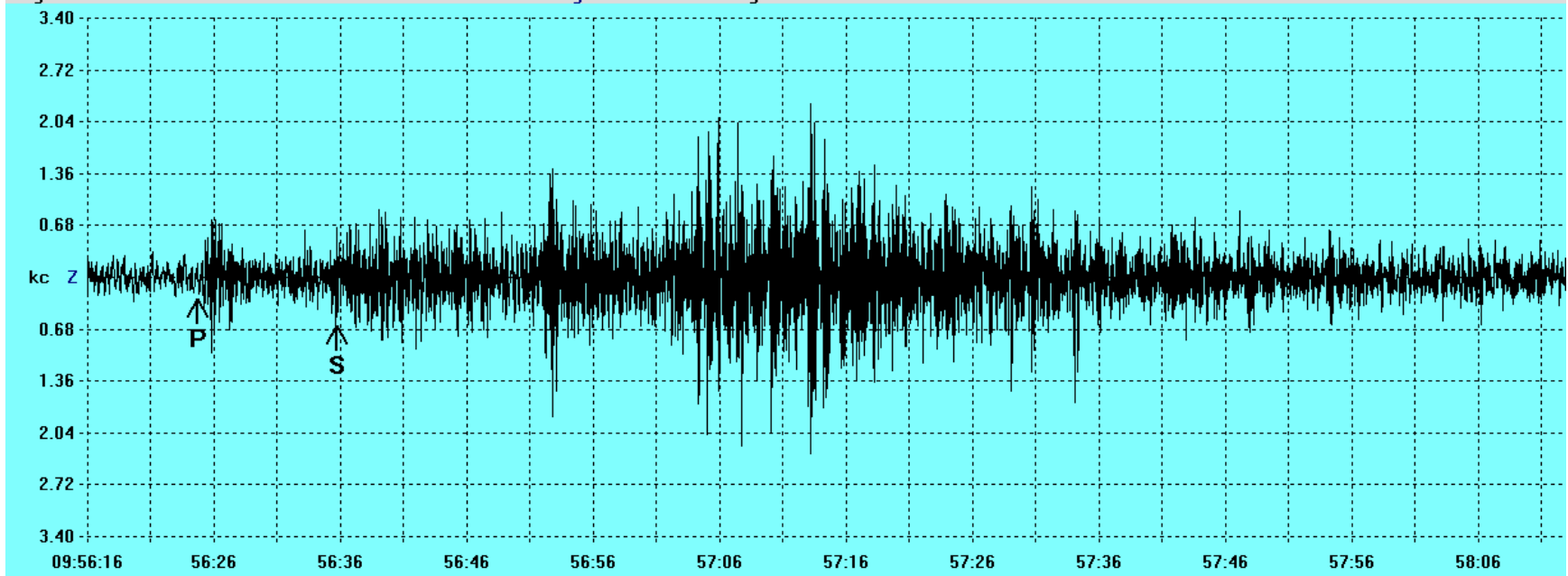
Registro de SANT1:



Registro de SANT2:

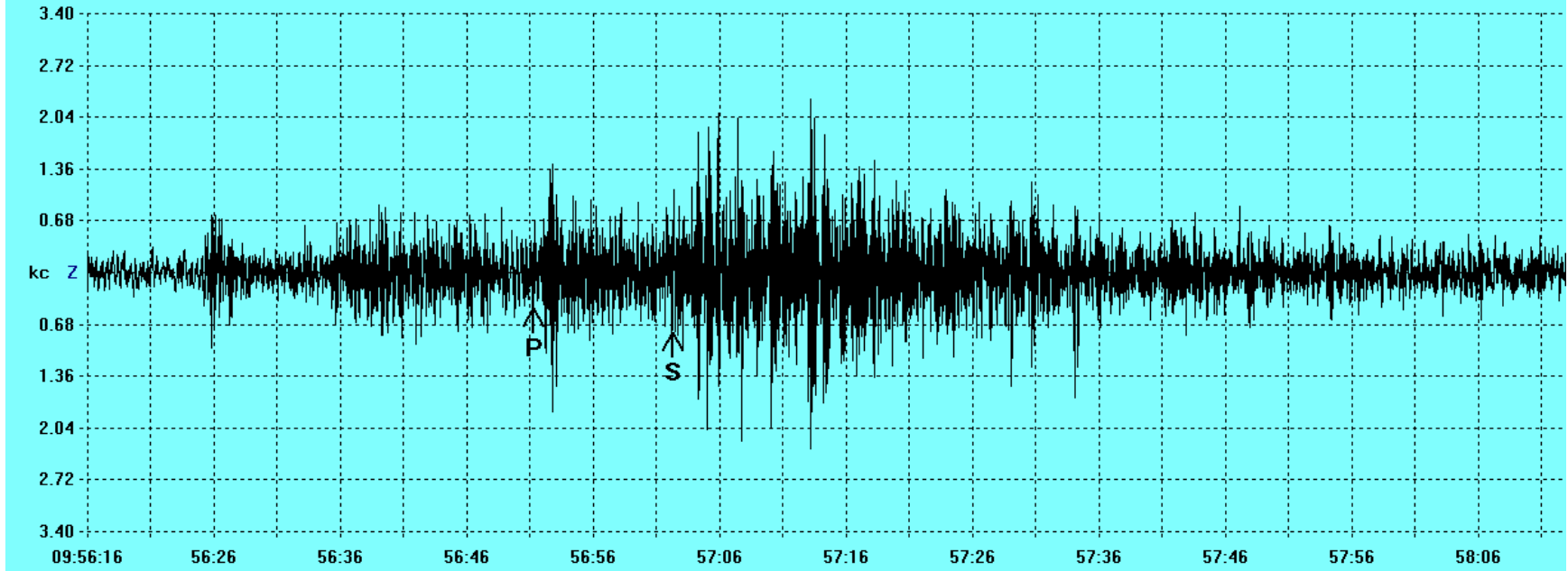


Start: 9/20/12 8:59:59 UTC Station: SAML 8.9489S 63.1831W Samples: 144001 SPS: 39.999999
Max/Min: 2272/-3302 X: 1:57.0 Y: 3.4kc
Org: 9:56:09.8 P: 9:56:24.7 S: 9:56:35.7 Diff: 11.0sec Dist: 0.772deg 85.8km 53.3mi Mag: MI?? JB: 33



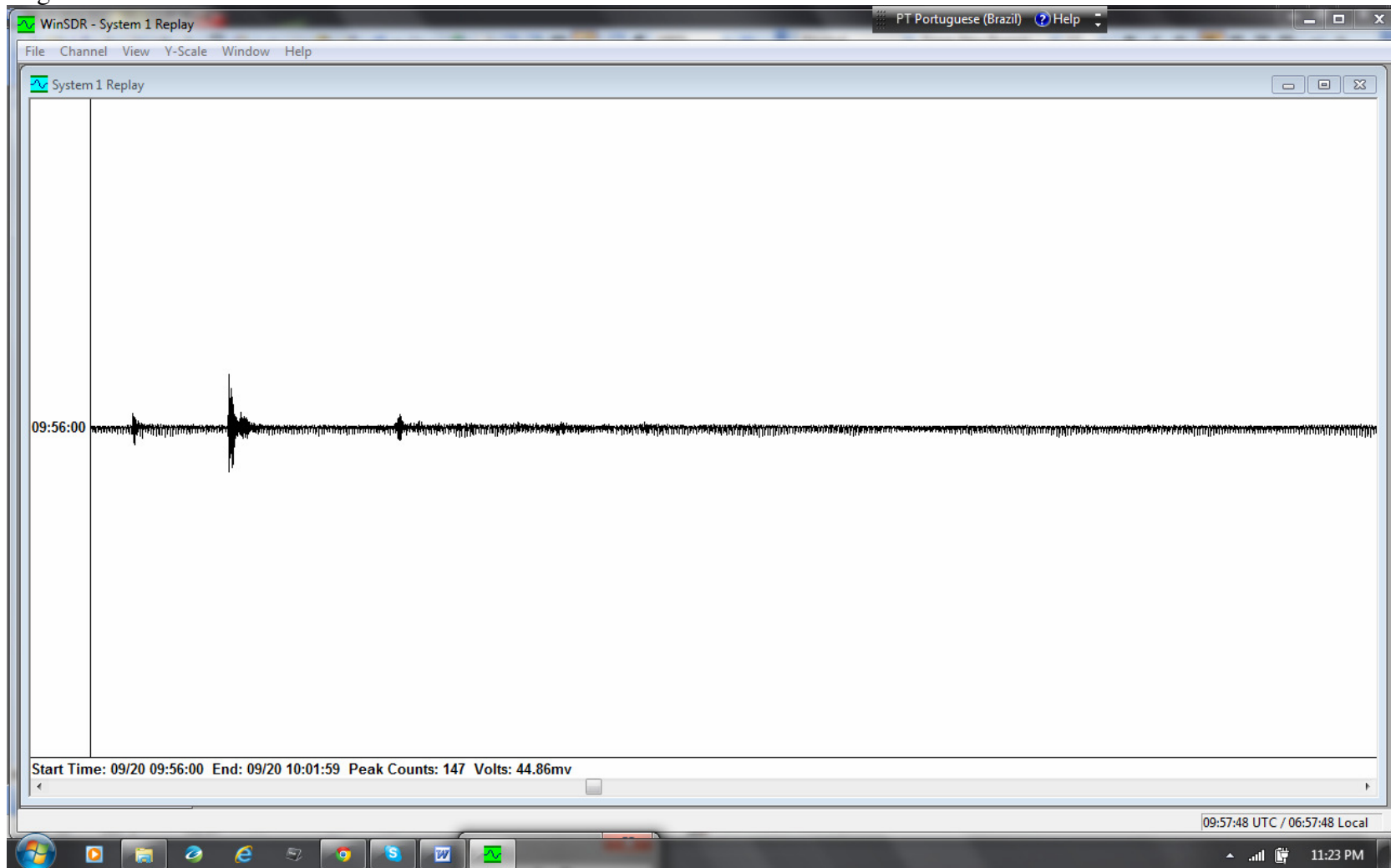
Evento 4

Start: 9/20/12 8:59:59 UTC Station: SAML 8.9489S 63.1831W Samples: 144001 SPS: 39.999999
Max/Min: 2272/-3302 X: 1:57.0 Y: 3.4kc
Org: 9:56:36.4 P: 9:56:51.3 S: 9:57:02.3 Diff: 11.0sec Dist: 0.772deg 85.8km 53.3mi Mag: MI?? JB: 33



Evento 4

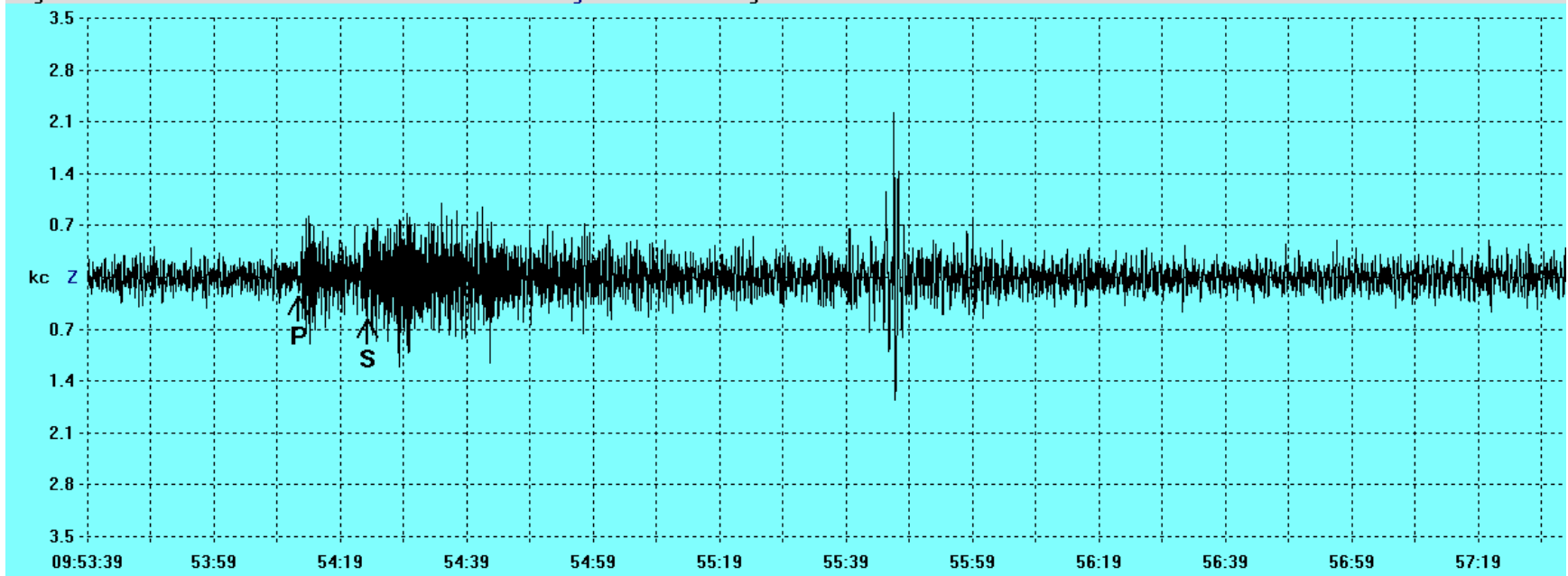
Registro de SANT1:



Registro de SANT2:

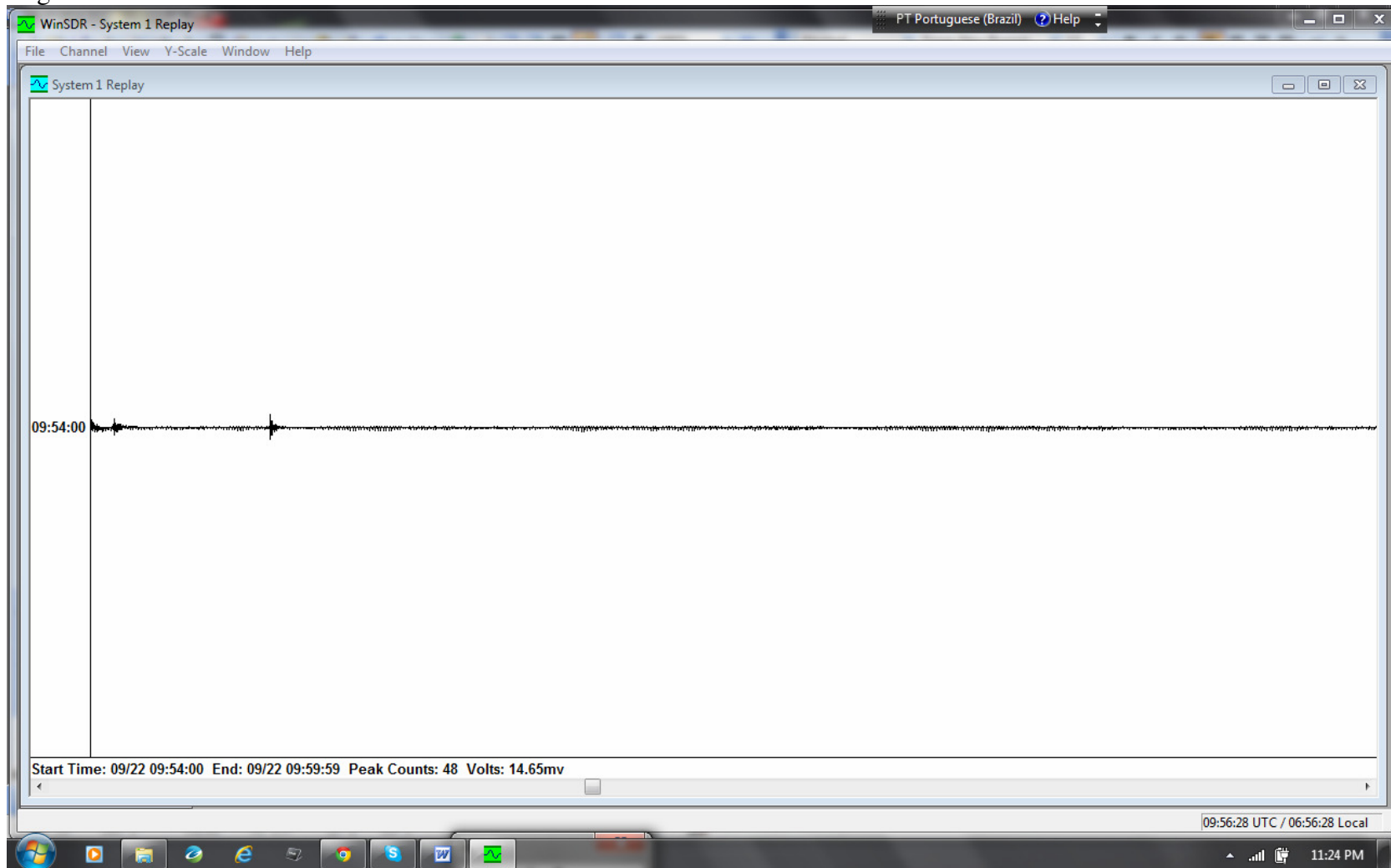


Start: 9/22/12 8:59:59 UTC Station: SAML 8.9489S 63.1831W Samples: 144001 SPS: 39.999999
Max/Min: 3494/-3422 X: 3:54.0 Y: 3.5kc
Org: 9:53:57.4 P: 9:54:12.3 S: 9:54:23.3 Diff: 11.0sec Dist: 0.772deg 85.8km 53.3mi Mag: MI?? JB: 33

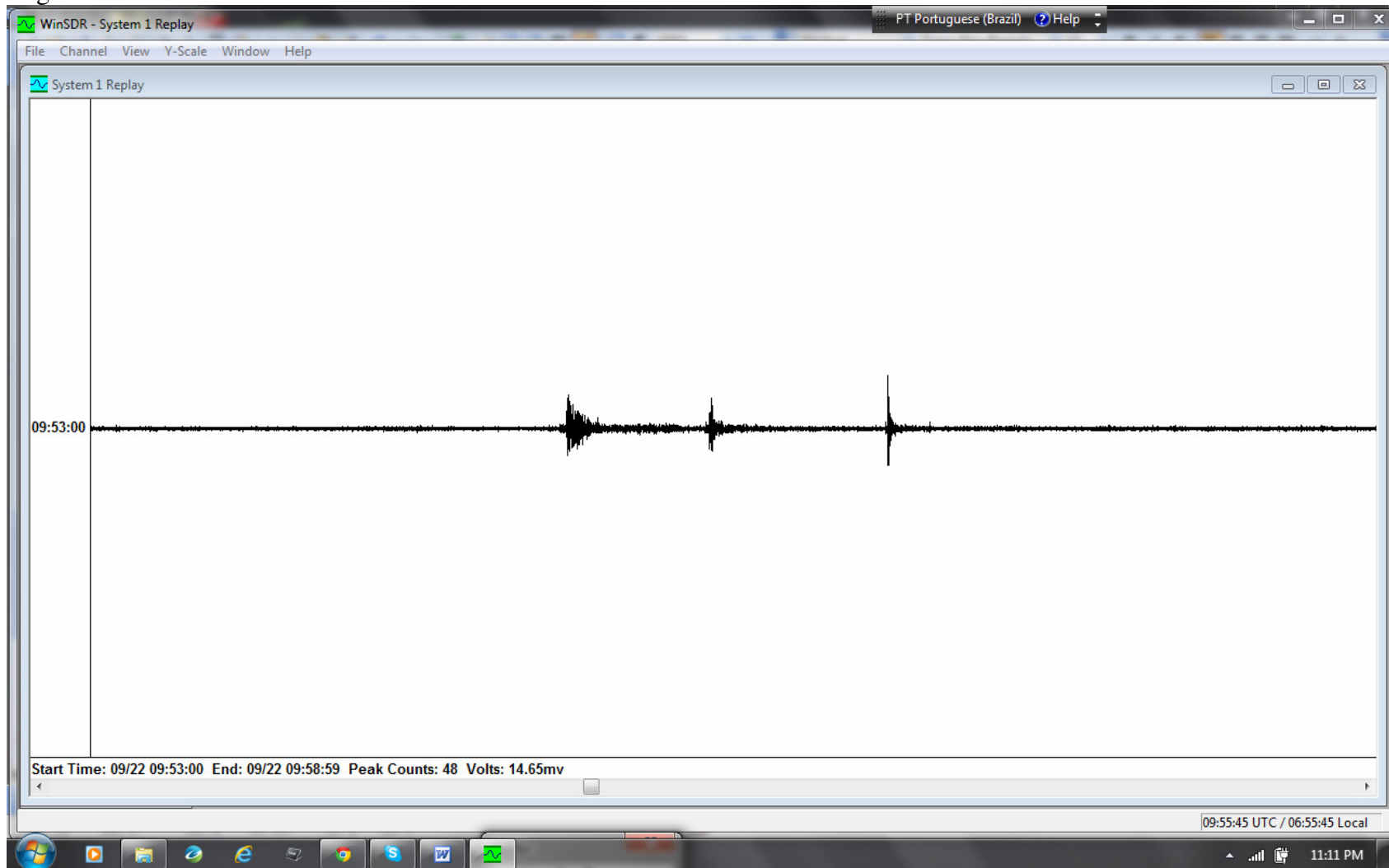


Evento 5

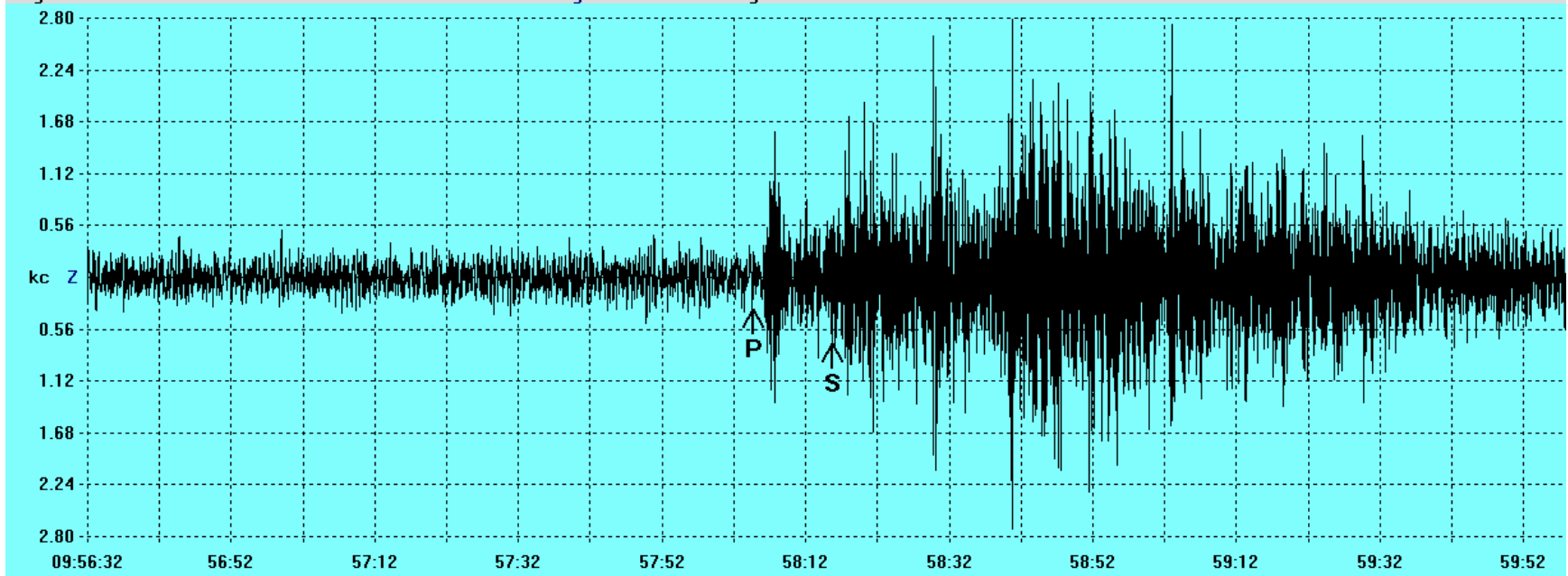
Registro de SANT1:



Registro de SANT2:

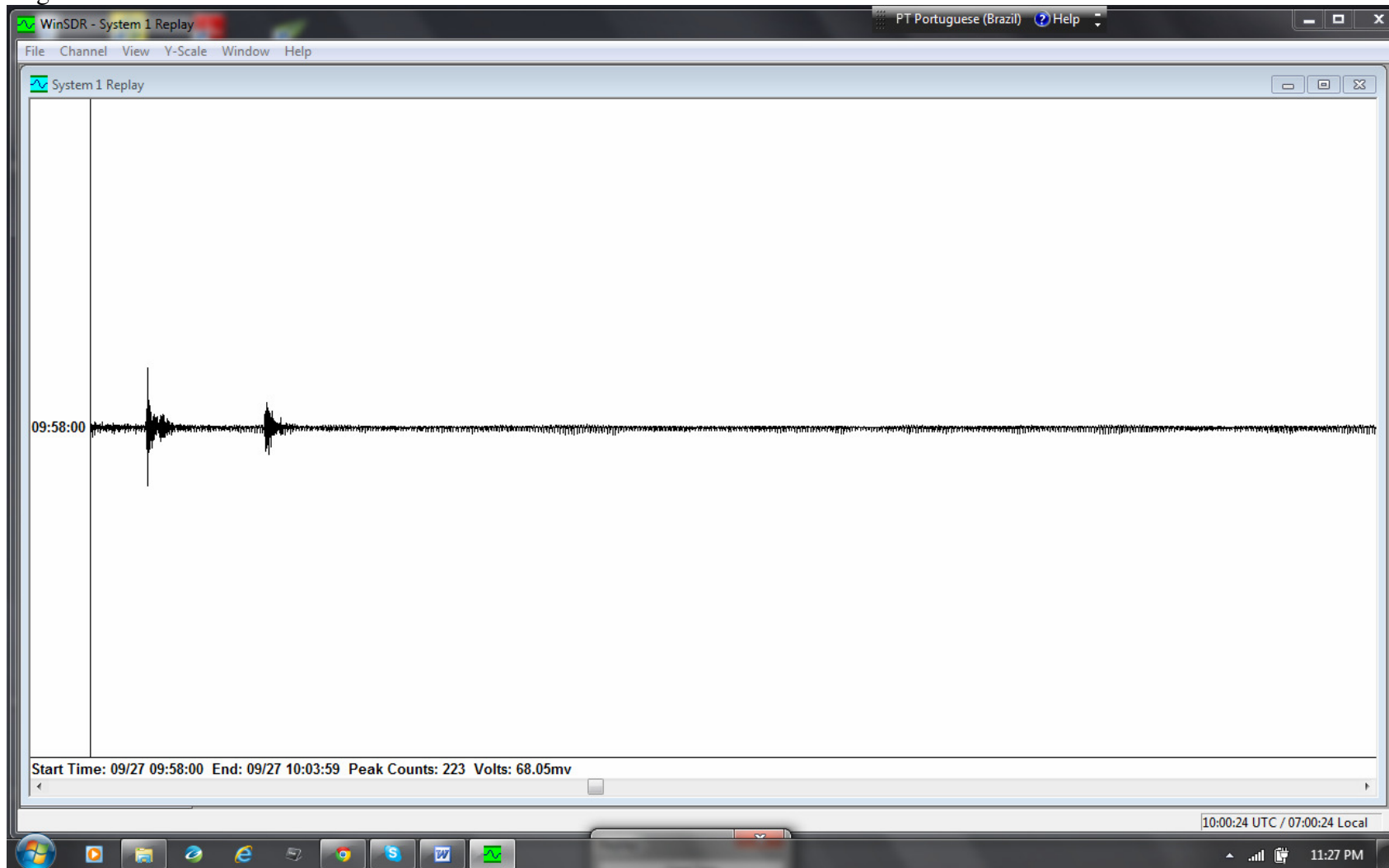


Start: 9/27/12 8:59:59 UTC Station: SAML 8.9489S 63.1831W Samples: 144001 SPS: 39.999999
Max/Min: 2786/-2715 X: 3:26.0 Y: 2.8kc
Org: 9:57:49.8 P: 9:58:04.7 S: 9:58:15.7 Diff: 11.0sec Dist: 0.772deg 85.8km 53.3mi Mag: MI?? JB: 33

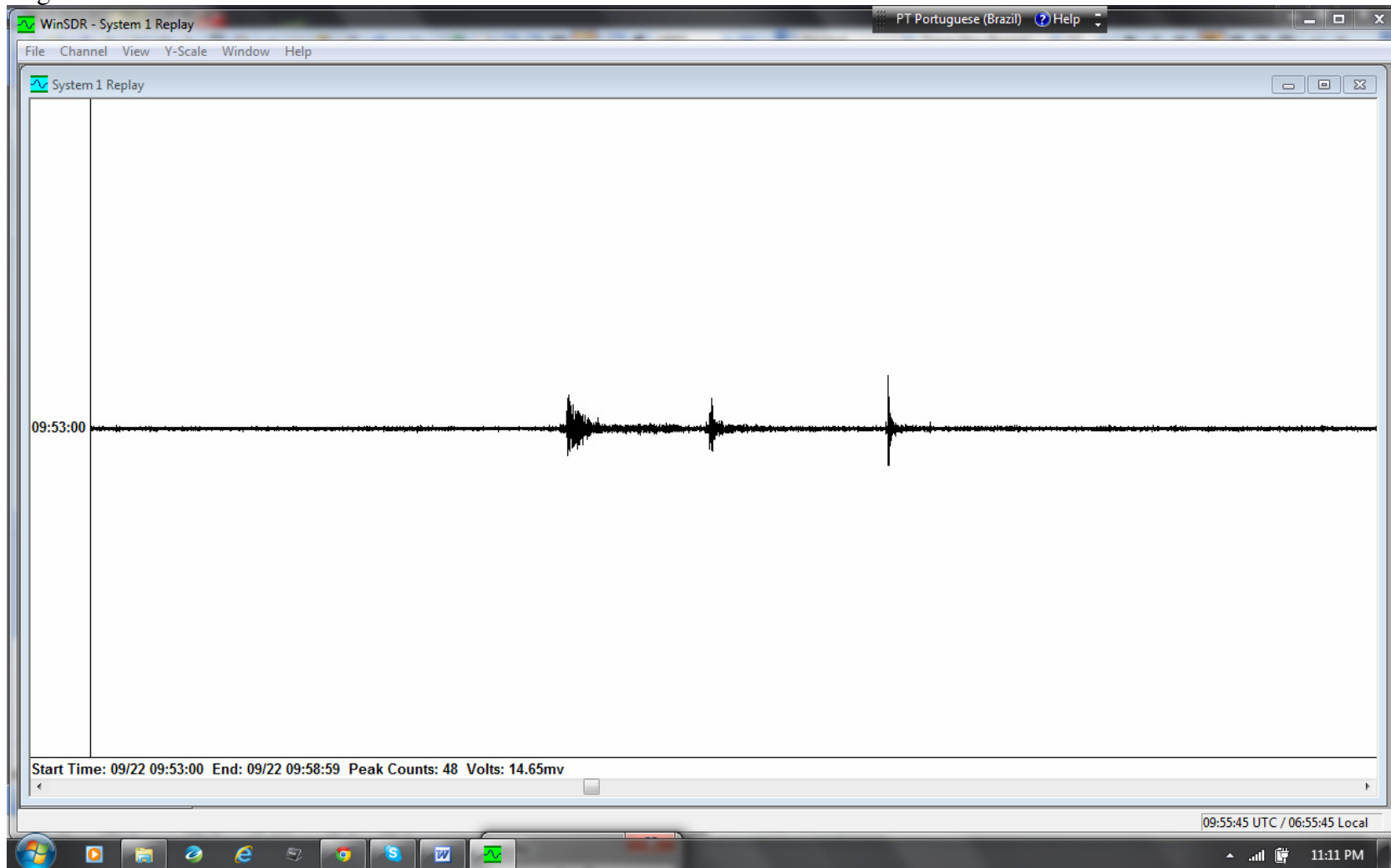


Evento 6 (eventos superpuestos).

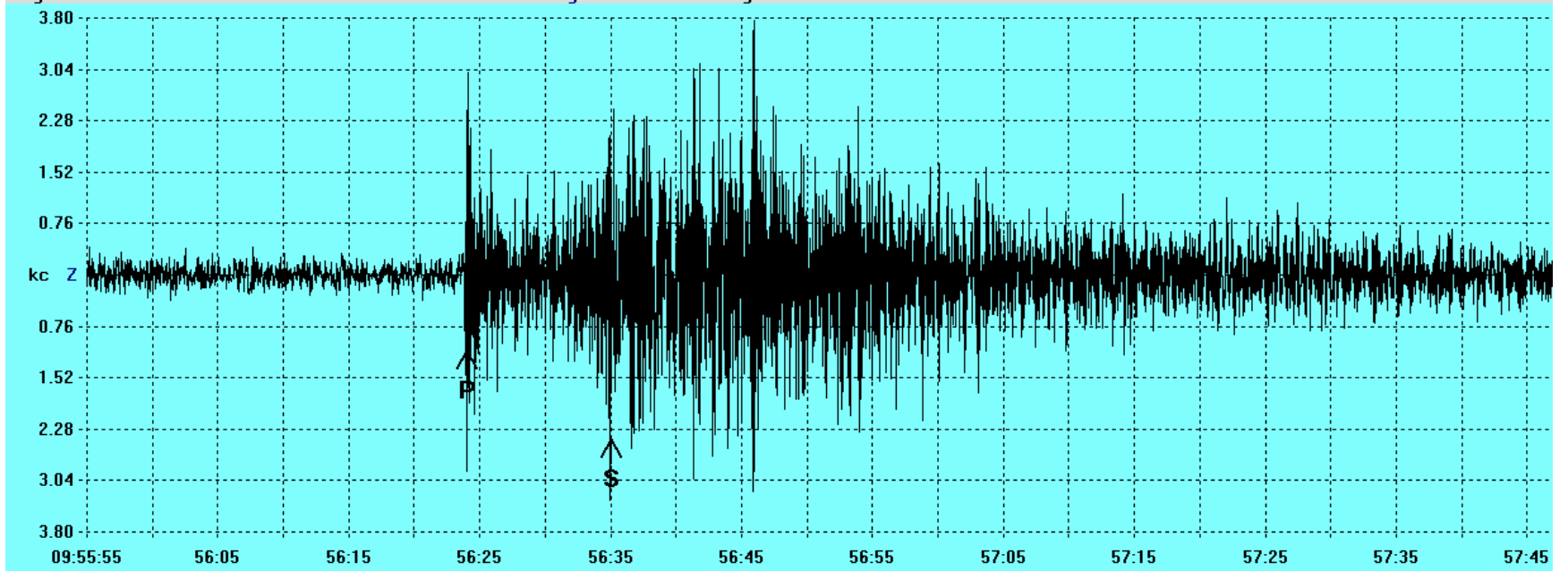
Registro de SANT1:



Registro de SANT2:

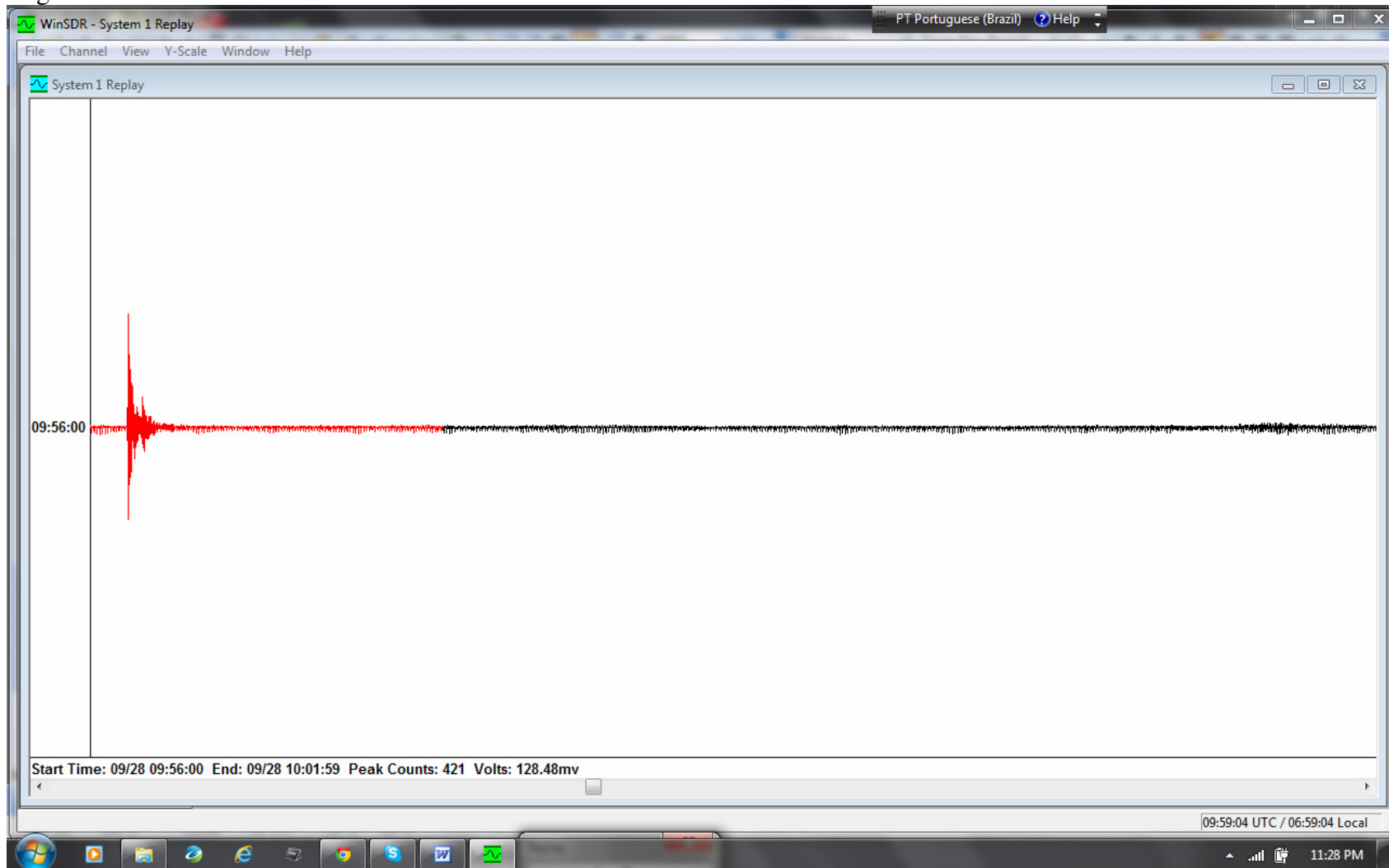


Start: 9/28/12 8:59:59 UTC Station: SAML 8.9489S 63.1831W Samples: 144001 SPS: 39.999999
Max/Min: 3758/-3334 X: 1:52.0 Y: 3.8kc
Org: 9:56:09.1 P: 9:56:24.0 S: 9:56:35.0 Diff: 11.0sec Dist: 0.772deg 85.8km 53.3mi Mag: MI?? JB: 33



Evento 7

Registro de SANT1:



**Principais Telessismos Registrados no
Canteiro de Obras da UHE Santo
Antônio**

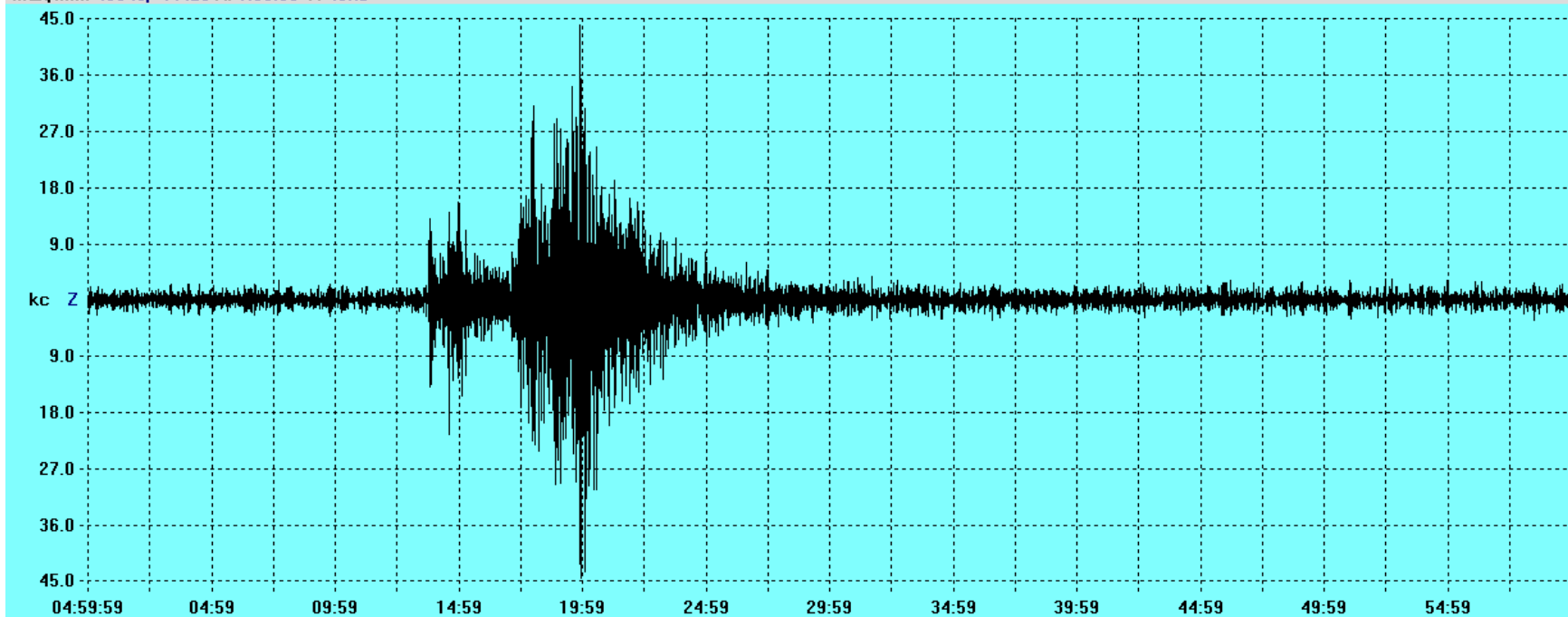
**Setembro
2012**

Registros da Estação SAML

O sismograma a seguir foi filtrado (band-pass):

Start: 9/01/12 4:59:59 UTC Station: SAML 8.9489S 63.1831W Samples: 144001 SPS: 39.999999

Max/Min: 43849/-44426 X: 1:00:00 Y: 45kc

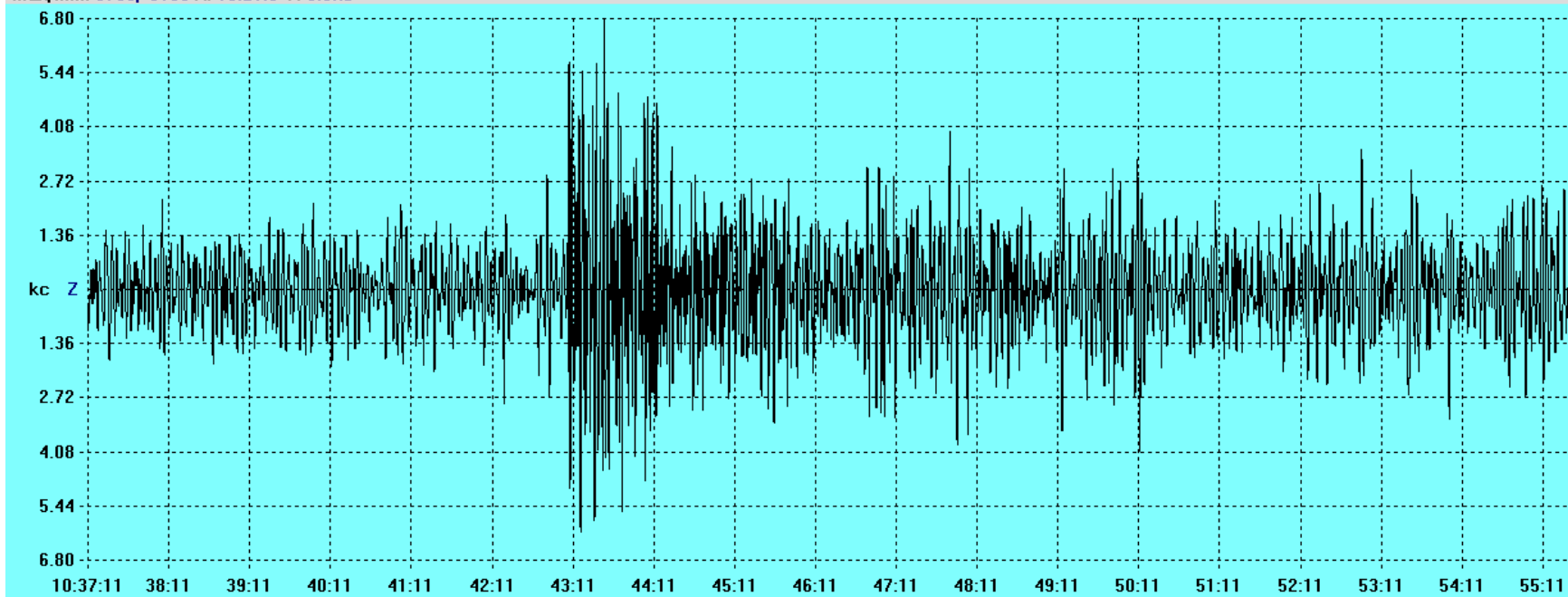


Telessismo: PDE-Q 2012 09 01 050945.65 6.72 -72.92 163 5.1 mbGS

O sismograma a seguir foi filtrado (band-pass):

Start: 9/01/12 9:59:59 UTC Station: SAML 8.9489S 63.1831W Samples: 144001 SPS: 39.999999

Max/Min: 6769/-6106 X: 18:21.0 Y: 6.8kc

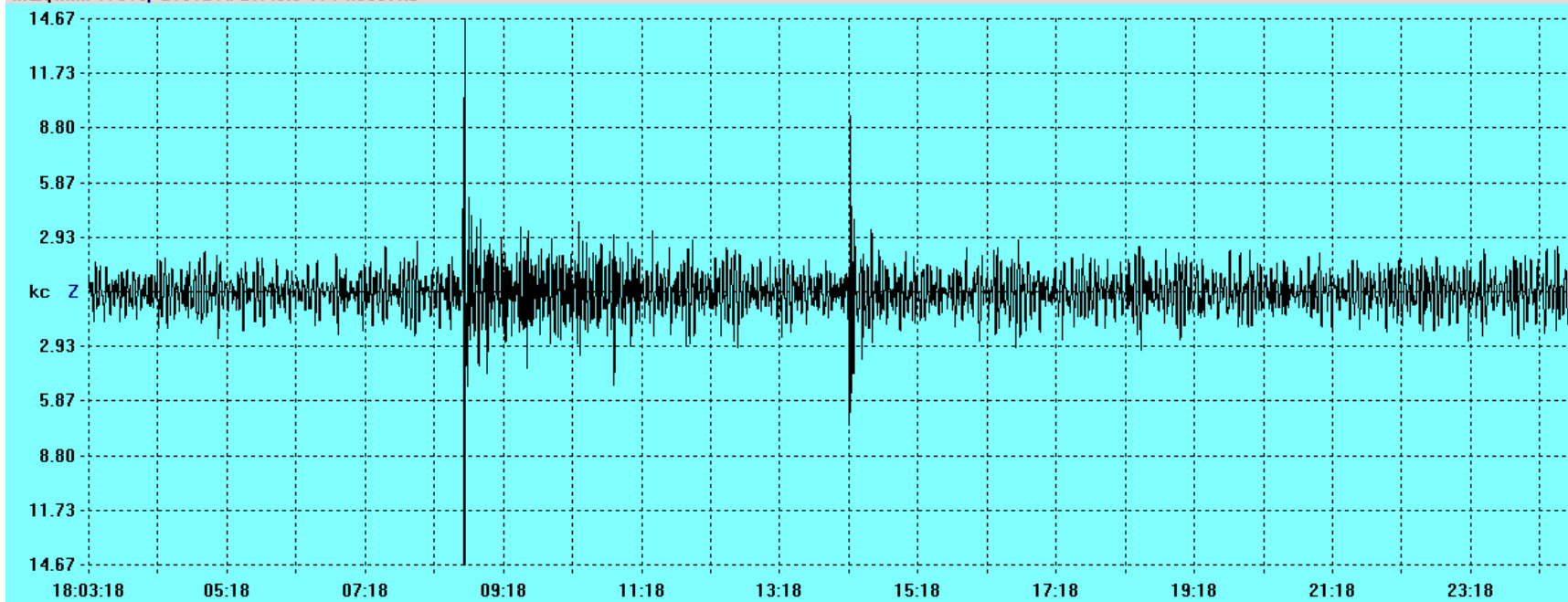


Telessismo: PDE-Q 2012 09 01 103839.21 -27.23 -71.12 27 5.0 mbGS

O sismograma a seguir foi filtrado (band-pass):

Start: 9/01/12 17:59:59 UTC Station: SAML 8.9489S 63.1831W Samples: 144001 SPS: 39.999999

Max/Min: 17819/-21612 X: 21:40.0 Y: 14.6667kc

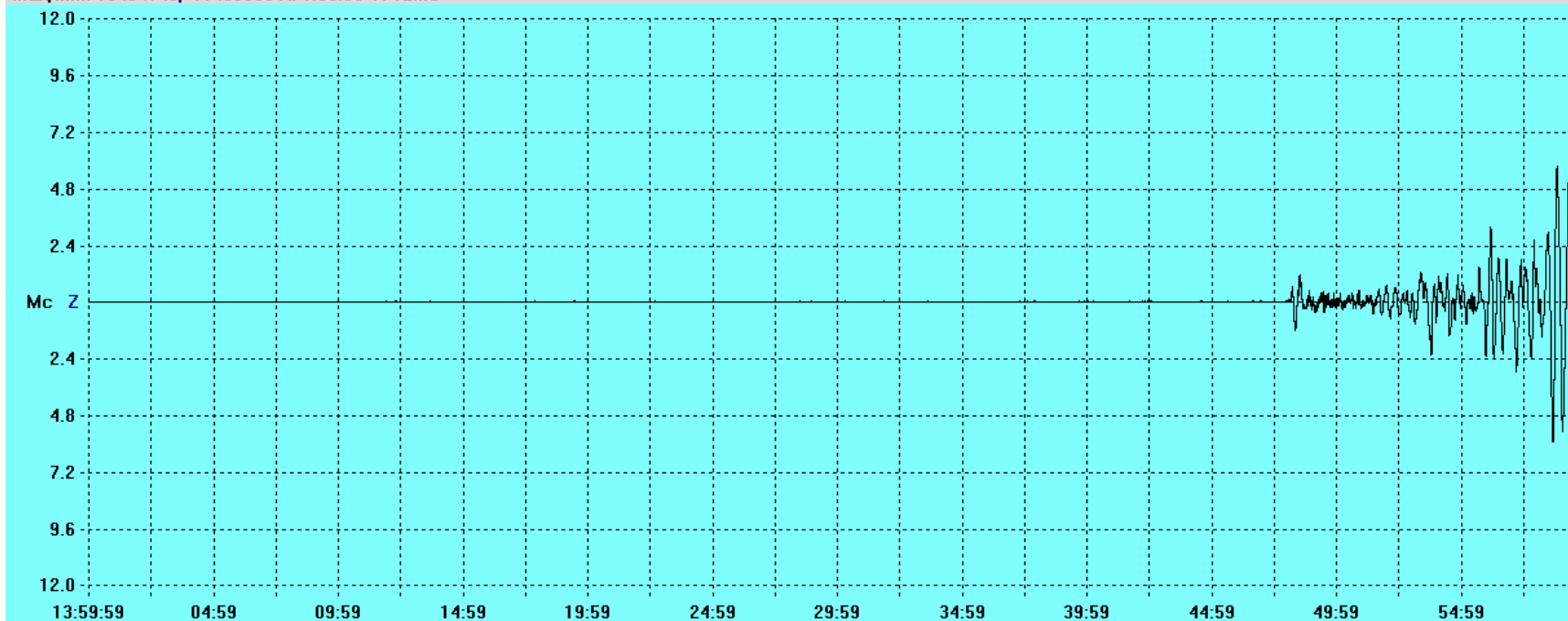


Telessismo: PDE-Q 2012 09 01 180148.98 16.40 -92.44 252 5.5 MwGS

O sismograma a seguir não foi filtrado:

Start: 9/05/12 13:59:59 UTC Station: SAML 8.9489S 63.1831W Samples: 144001 SPS: 39.999999

Max/Min: 10494740/-11483386 X: 1:00:00 Y: 12Mc

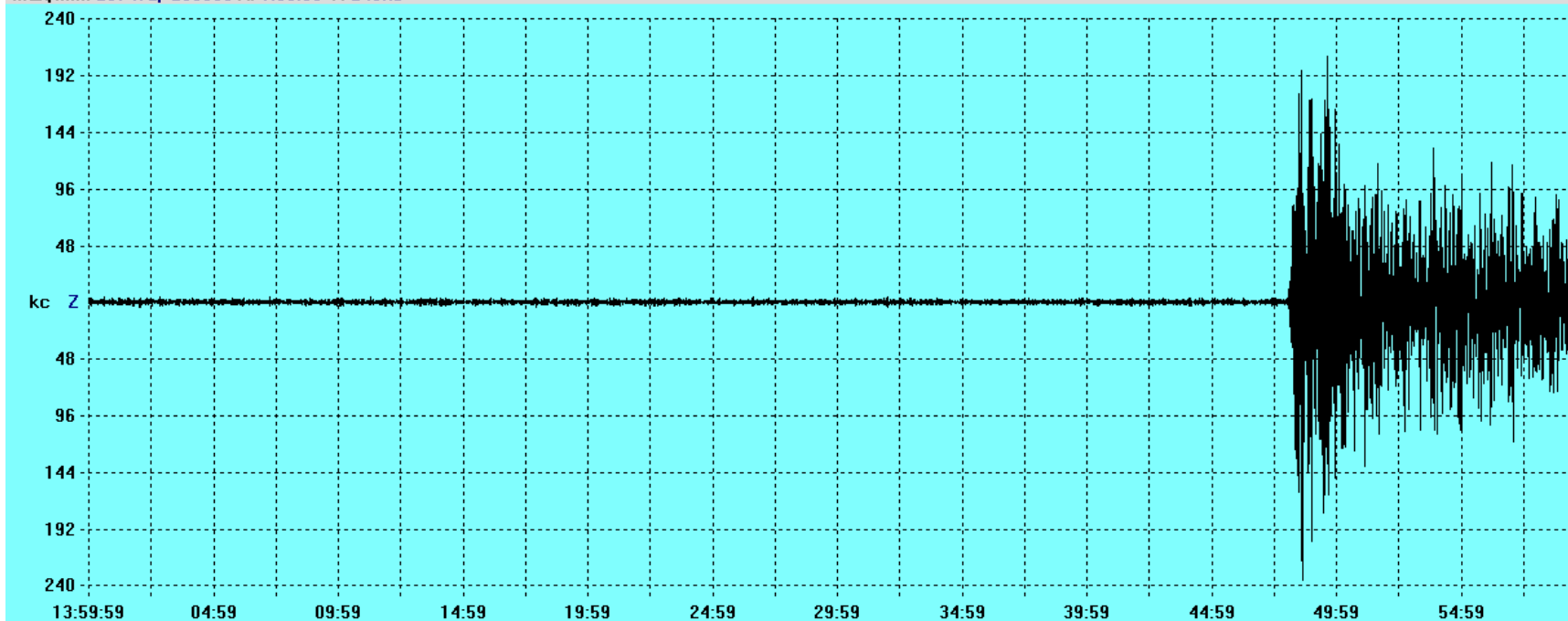


Telessismo: PDE-Q 2012 09 05 144207.88 10.10 -85.31 35 7.6 MwWCMT

Versão filtrada (band-pass) do sismograma acima:

Start: 9/05/12 13:59:59 UTC Station: SAML 8.9489S 63.1831W Samples: 144001 SPS: 39.999999

Max/Min: 207472/-235065 X: 1:00:00 Y: 240kc

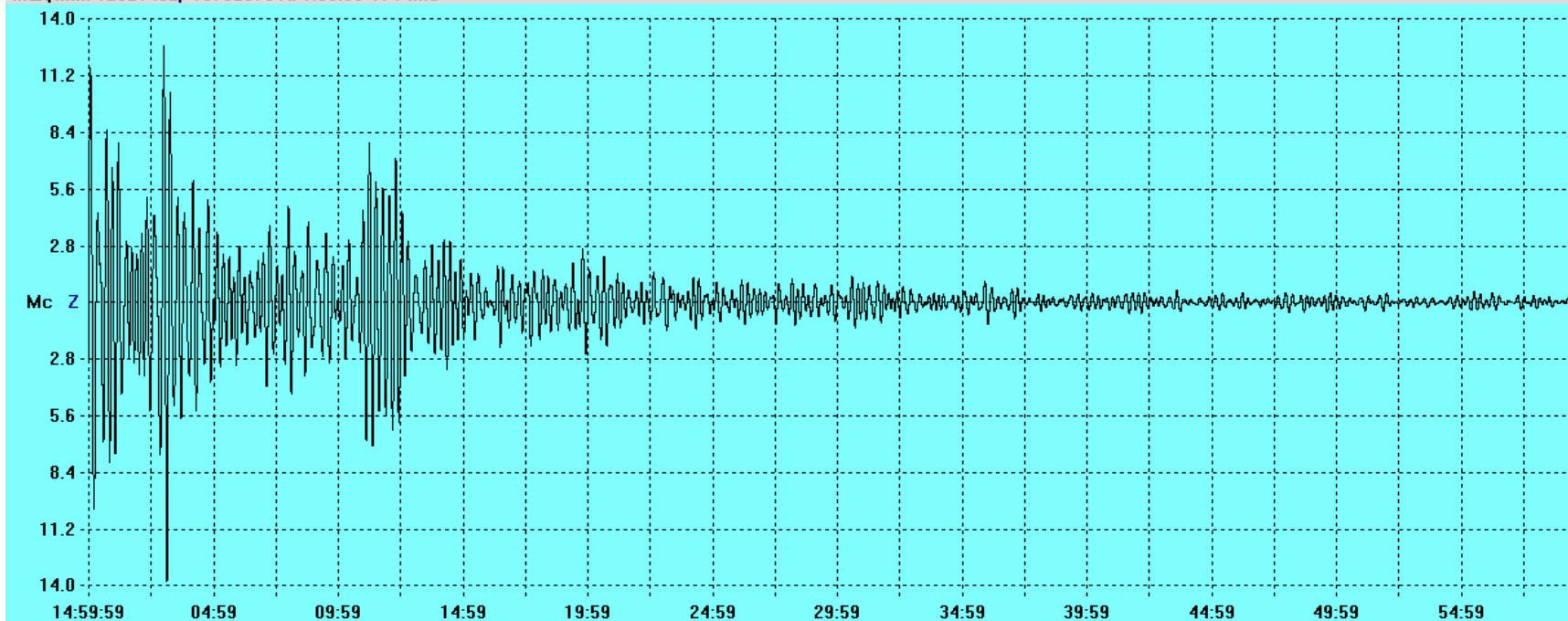


Telessismo: PDE-Q 2012 09 05 144207.88 10.10 -85.31 35 7.6 MwWCMT

Hora consecutiva à do sismograma acima (sismograma não filtrado):

Start: 9/05/12 14:59:59 UTC Station: SAML 8.9489S 63.1831W Samples: 144001 SPS: 39.999999

Max/Min: 12621452/-13752670 X: 1:00:00 Y: 14Mc

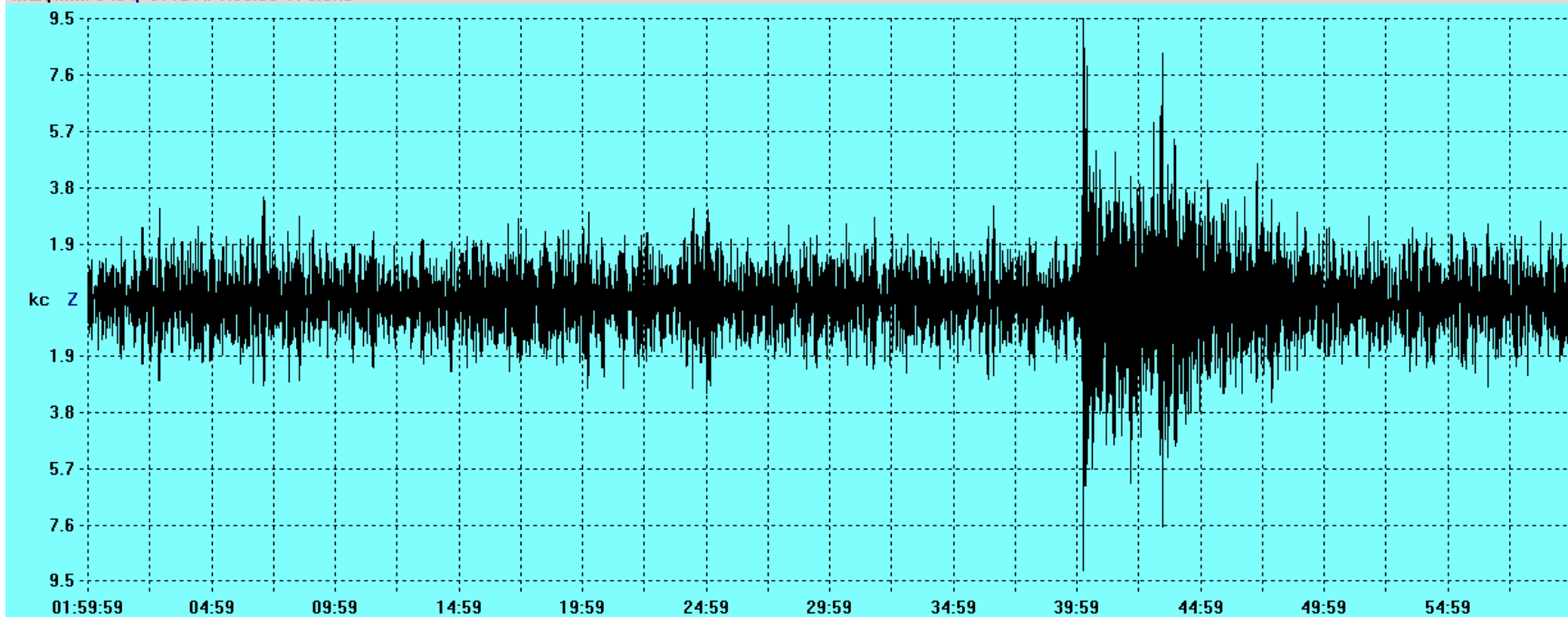


Telessismo: PDE-Q 2012 09 05 144207.88 10.10 -85.31 35 7.6 MwWCMT

O sismograma a seguir foi filtrado (band-pass):

Start: 9/07/12 1:59:59 UTC Station: SAML 8.9489S 63.1831W Samples: 144001 SPS: 39.999999

Max/Min: 9494/-9112 X: 1:00:00 Y: 9.5kc

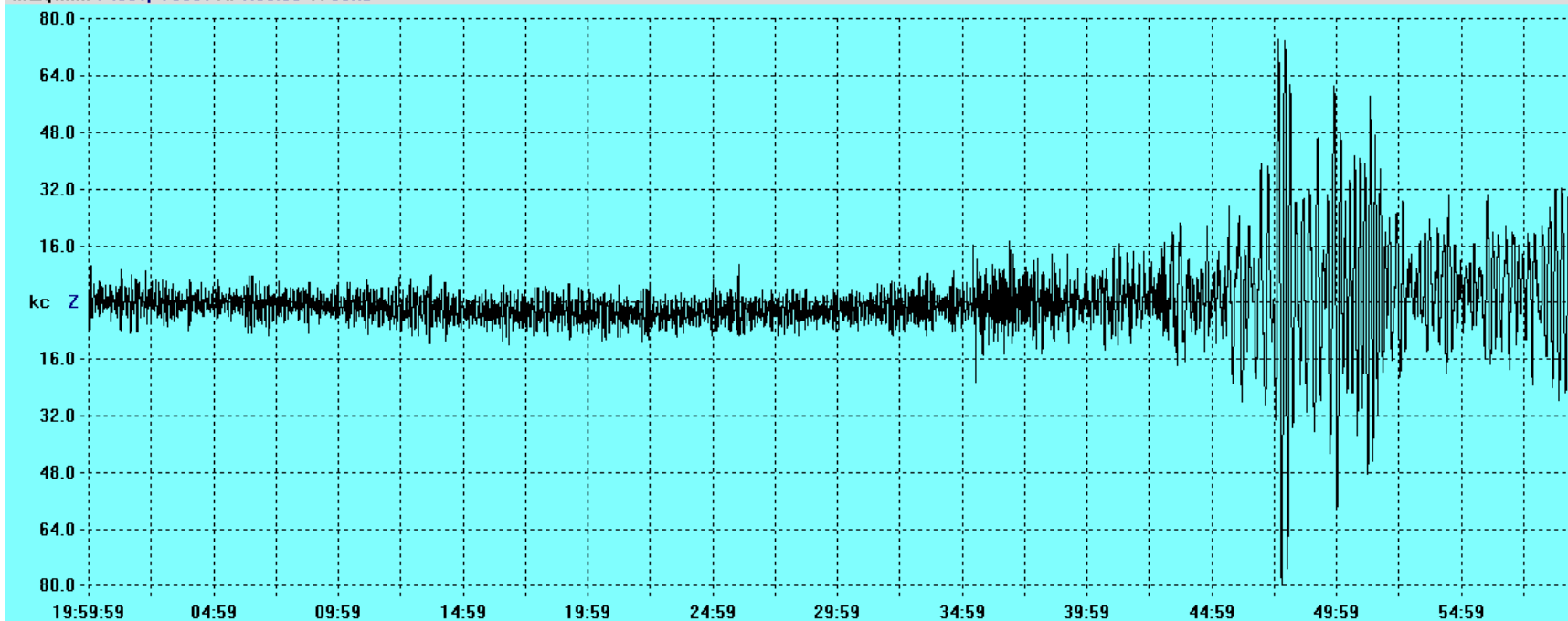


Telessismo: PDE-Q 2012 09 07 023659.67 -22.34 -68.18 92 5.0 MwRMT

O sismograma a seguir não foi filtrado:

Start: 9/08/12 19:59:59 UTC Station: SAML 8.9489S 63.1831W Samples: 144001 SPS: 39.999999

Max/Min: 74061/-79651 X: 1:00:00 Y: 80kc

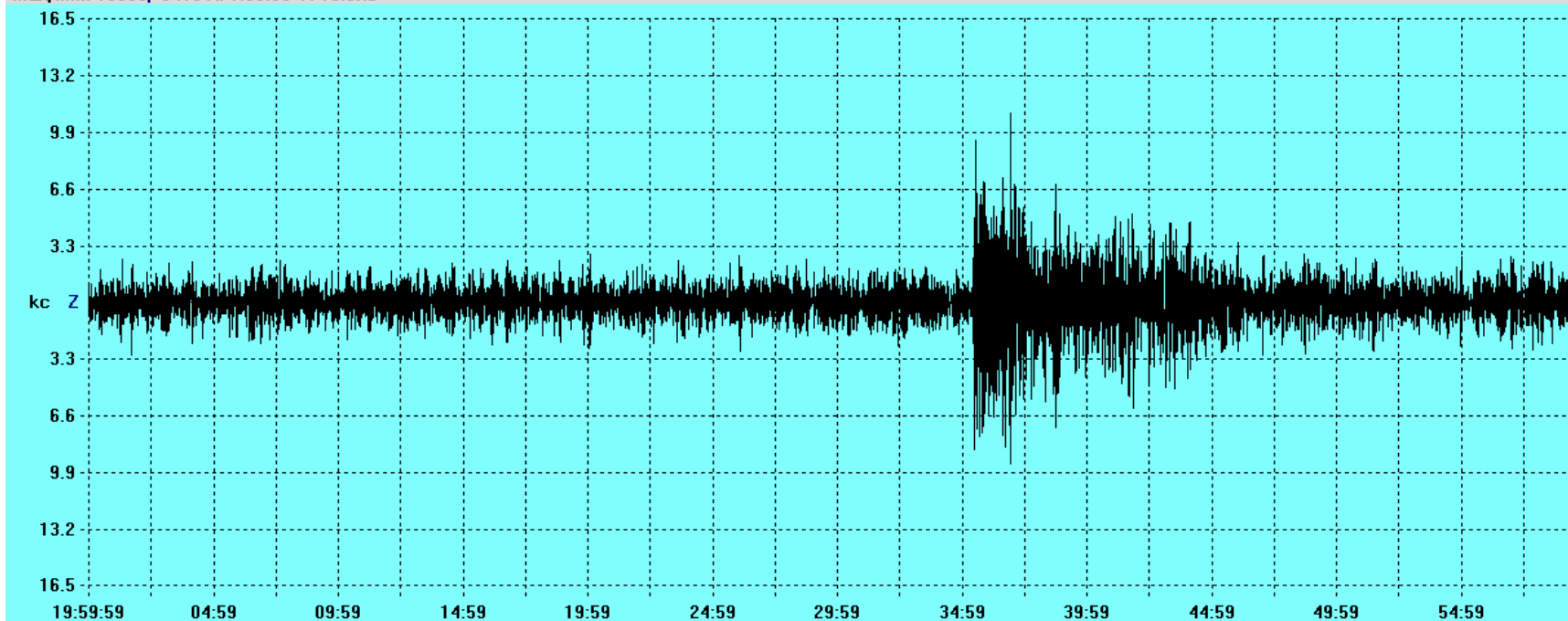


Telessismo: PDE-Q 2012 09 08 202931.22 10.07 -85.34 35 5.7 MwWCMT

Versão filtrada (band-pass) do sismograma acima:

Start: 9/08/12 19:59:59 UTC Station: SAML 8.9489S 63.1831W Samples: 144001 SPS: 39.999999

Max/Min: 10986/-9419 X: 1:00:00 Y: 16.5kc

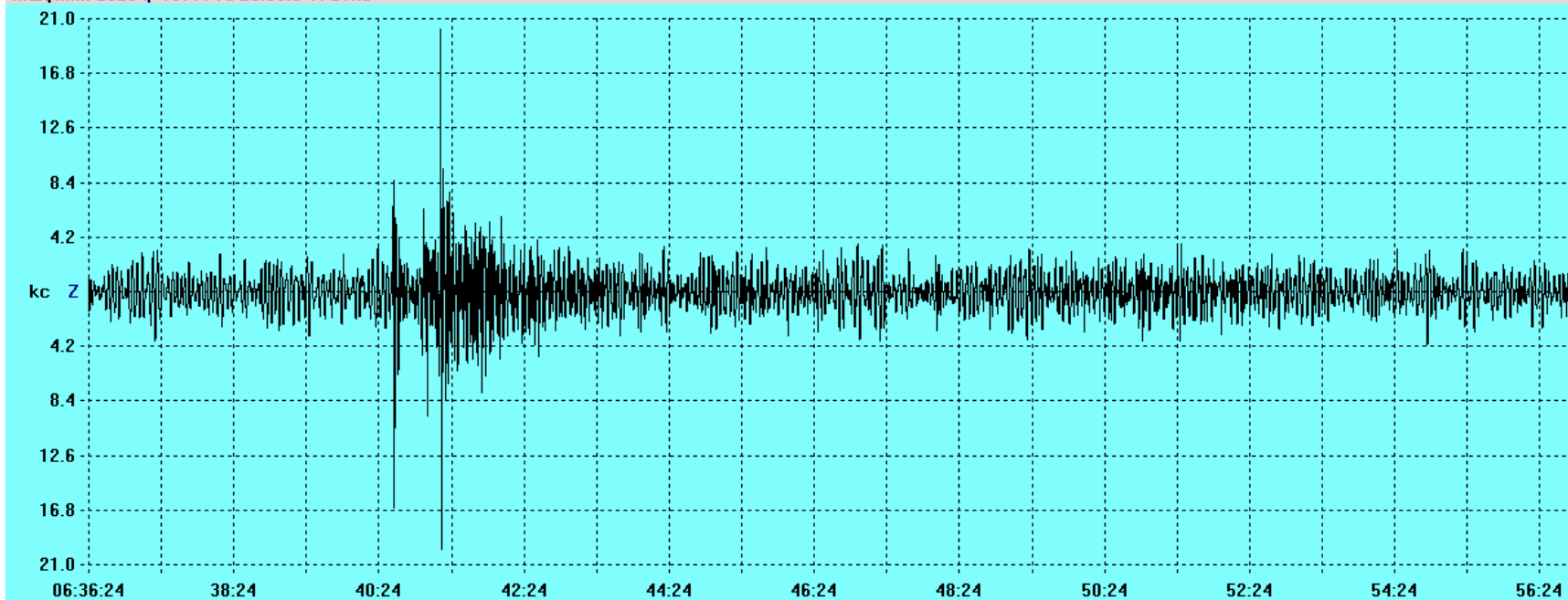


Telessismo: PDE-Q 2012 09 08 202931.22 10.07 -85.34 35 5.7 MwWCMT

O sismograma a seguir foi filtrado (band-pass):

Start: 9/11/12 5:59:59 UTC Station: SAML 8.9489S 63.1831W Samples: 144001 SPS: 39.999999

Max/Min: 20234/-19777 X: 20:38.0 Y: 21kc

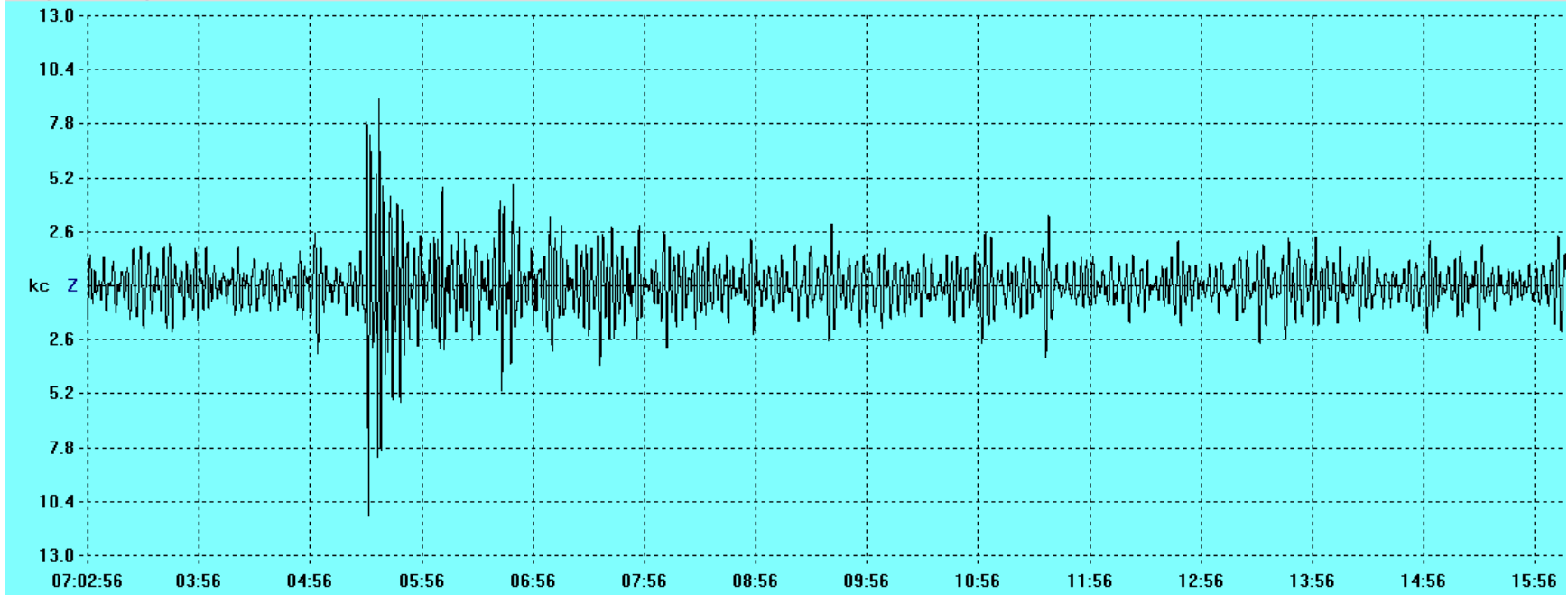


Telessismo: PDE-Q 2012 09 11 063537.56 -31.83 -68.25 108 5.1 mbGS

O sismograma a seguir foi filtrado (band-pass):

Start: 9/14/12 6:59:59 UTC Station: SAML 8.9489S 63.1831W Samples: 144001 SPS: 39.999999

Max/Min: 11833/-12704 X: 13:17.0 Y: 13kc

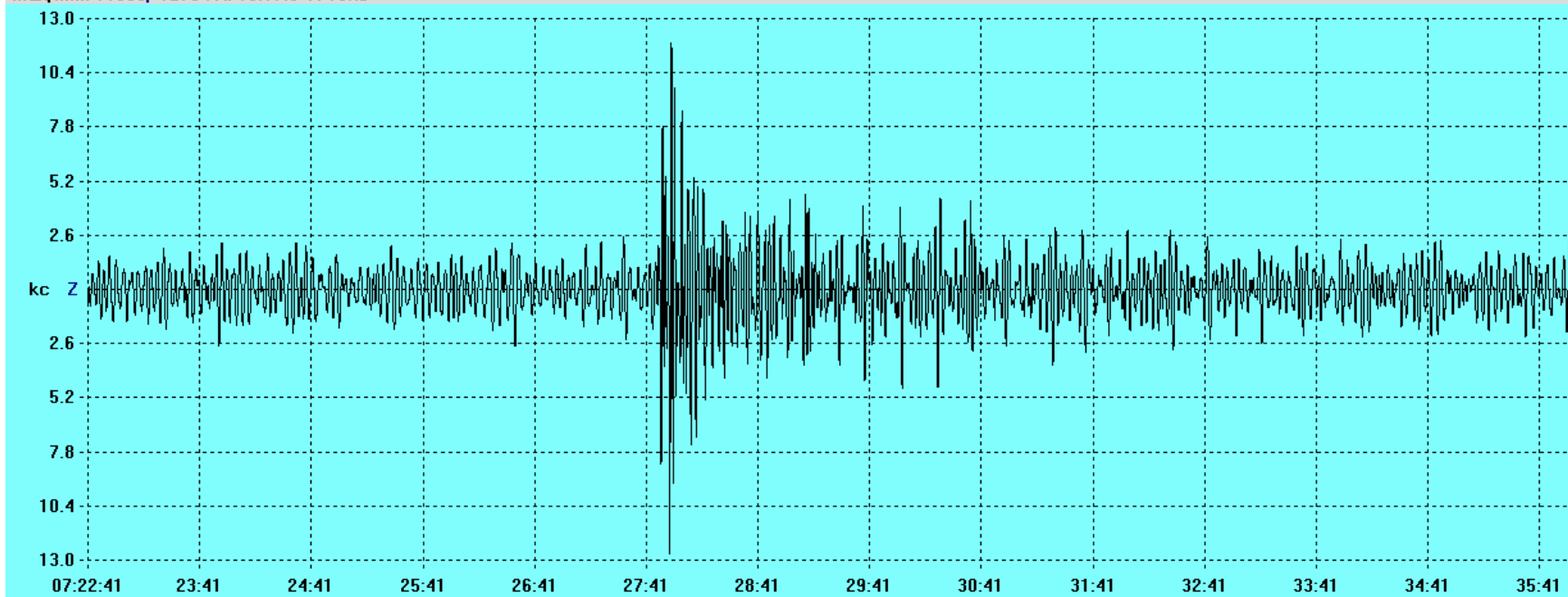


Telessismo: PDE-Q 2012 09 14 065616.84 -39.64 -16.02 10 5.1 mbGS

O sismograma a seguir foi filtrado (band-pass):

Start: 9/14/12 6:59:59 UTC Station: SAML 8.9489S 63.1831W Samples: 144001 SPS: 39.999999

Max/Min: 11833/-12704 X: 13:17.0 Y: 13kc

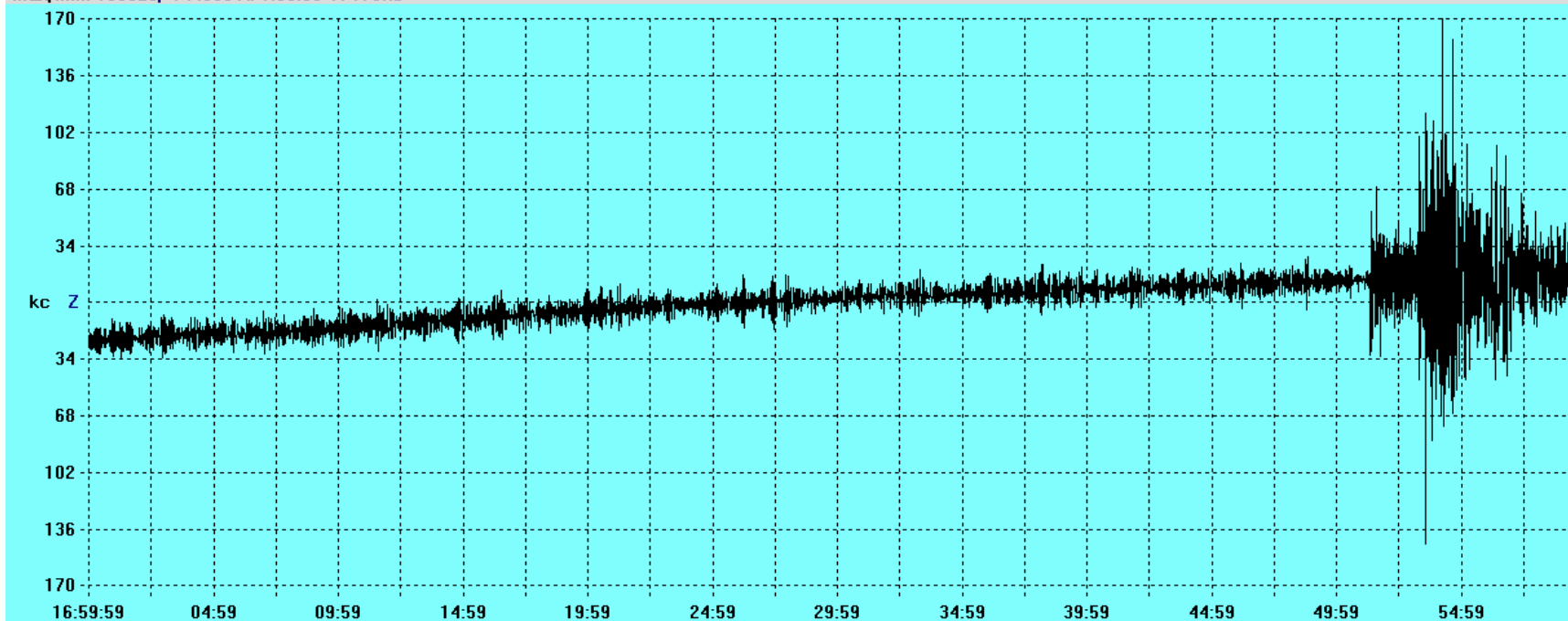


Telessismo: PDE-Q 2012 09 14 071838.35 -39.68 -16.01 10 5.5 MwGCMT

O sismograma a seguir não foi filtrado:

Start: 9/29/12 16:59:59 UTC Station: SAML 8.9489S 63.1831W Samples: 144001 SPS: 39.999999

Max/Min: 169926/-144585 X: 1:00:00 Y: 170kc

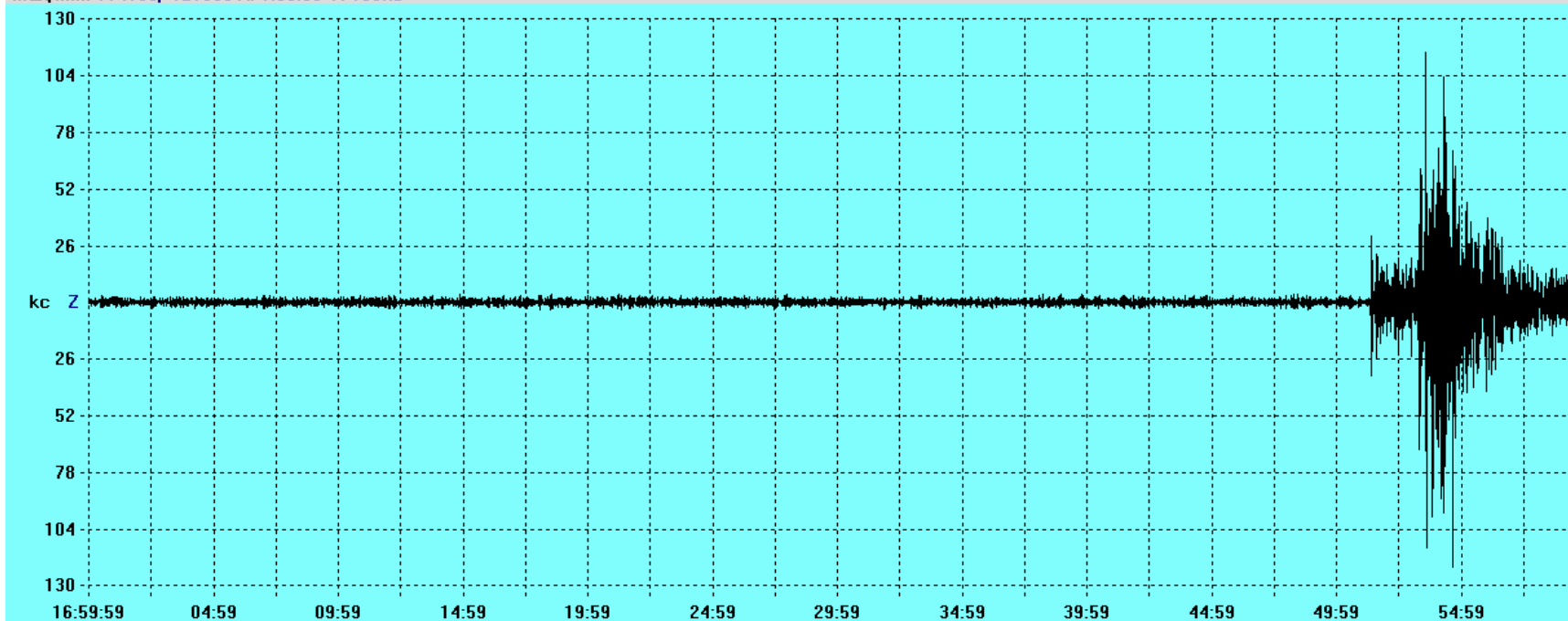


Telessismo: PDE-Q 2012 09 29 174857.92 -17.48 -69.67 131 5.1 mbGS

Versão filtrada (band-pass) do sismograma acima:

Start: 9/29/12 16:59:59 UTC Station: SAML 8.9489S 63.1831W Samples: 144001 SPS: 39.999999

Max/Min: 114160/-121333 X: 1:00:00 Y: 130kc

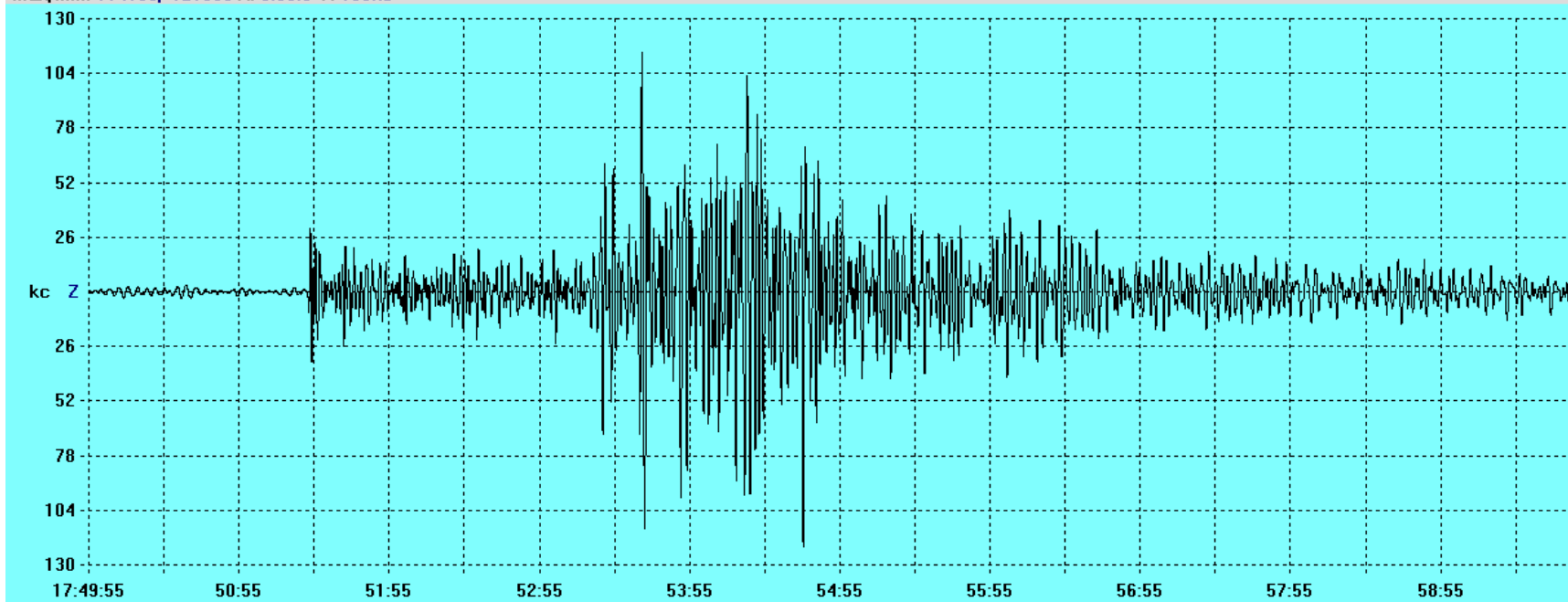


Telessismo: PDE-Q 2012 09 29 174857.92 -17.48 -69.67 131 5.1 mbGS

Detalhes do sismograma acima:

Start: 9/29/12 16:59:59 UTC Station: SAML 8.9489S 63.1831W Samples: 144001 SPS: 39.99999

Max/Min: 114160/-121333 X: 9:58.0 Y: 130kc

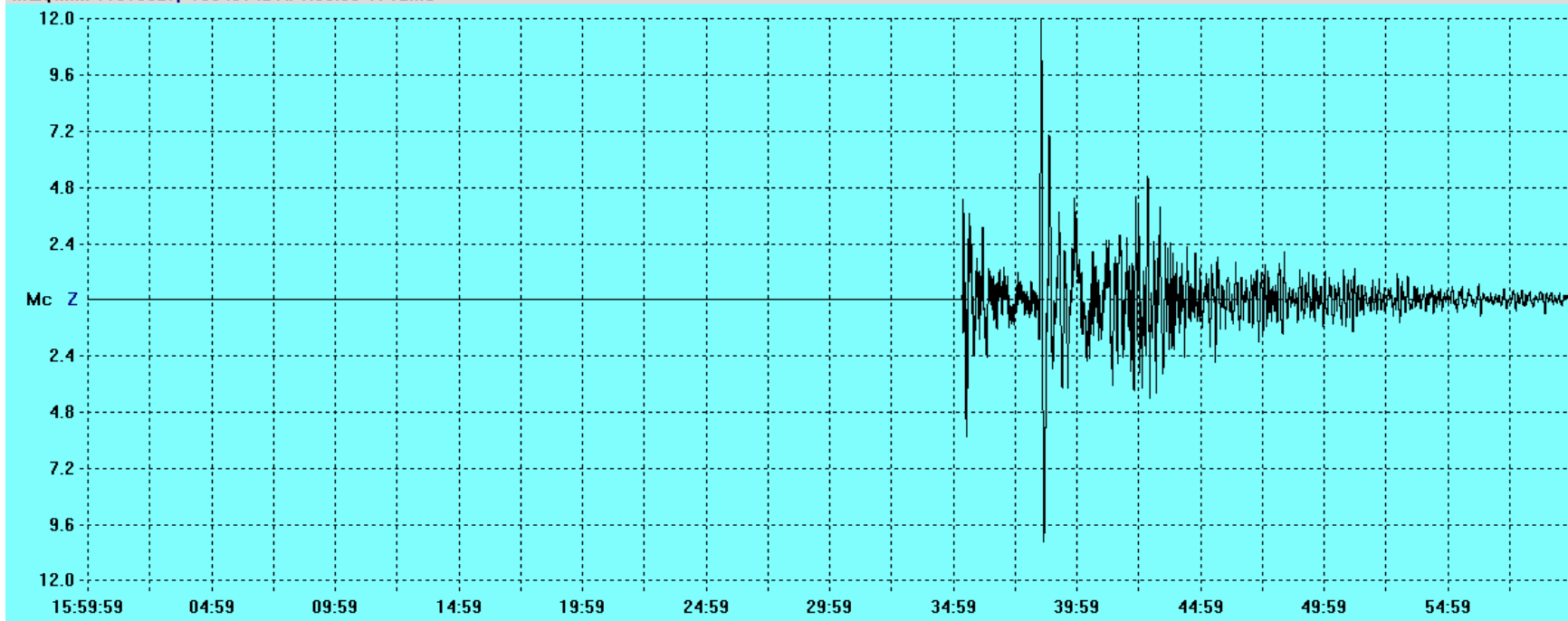


Telessismo: PDE-Q 2012 09 29 174857.92 -17.48 -69.67 131 5.1 mbGS

O sismograma a seguir não foi filtrado:

Start: 9/30/12 15:59:59 UTC Station: SAML 8.9489S 63.1831W Samples: 144001 SPS: 39.999999

Max/Min: 11916327/-10345142 X: 1:00:00 Y: 12Mc

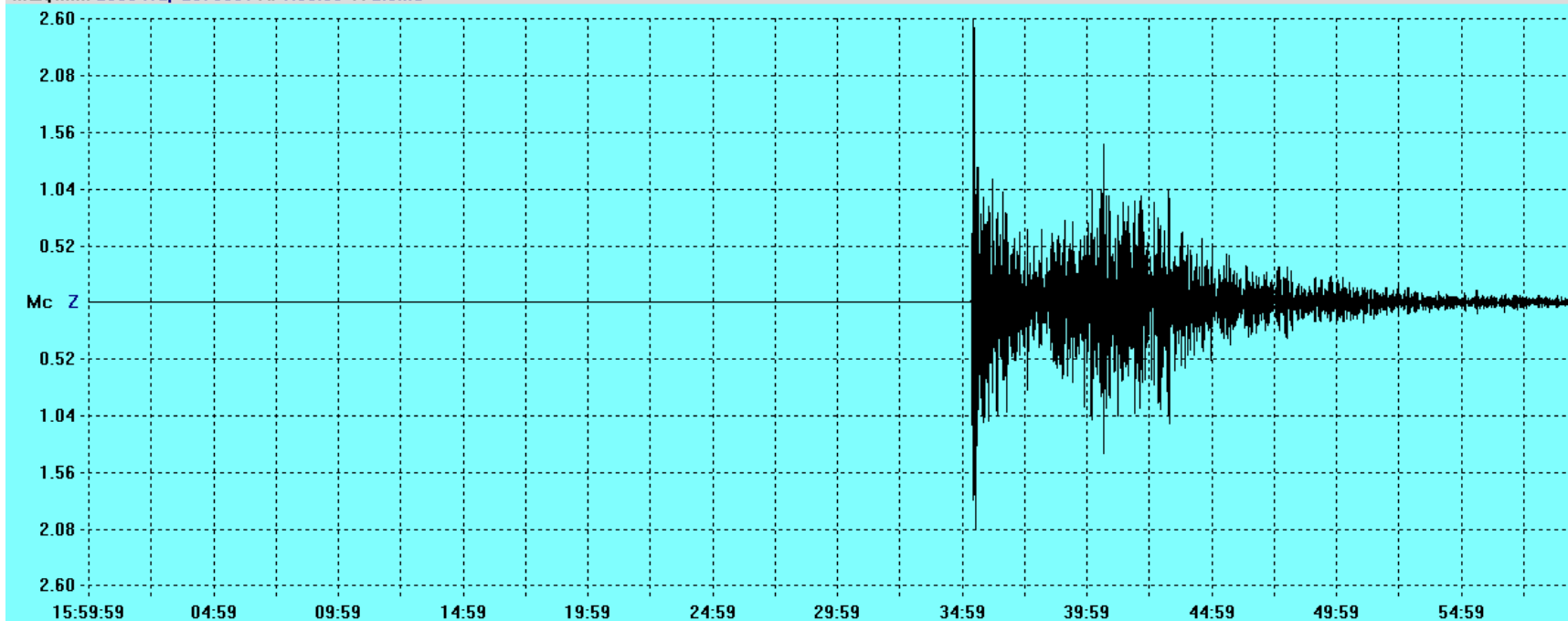


Telessismo:

Versão filtrada (band-pass) do sismograma acima:

Start: 9/30/12 15:59:59 UTC Station: SAML 8.9489S 63.1831W Samples: 144001 SPS: 39.999999

Max/Min: 2583412/-2079951 X: 1:00:00 Y: 2.6Mc

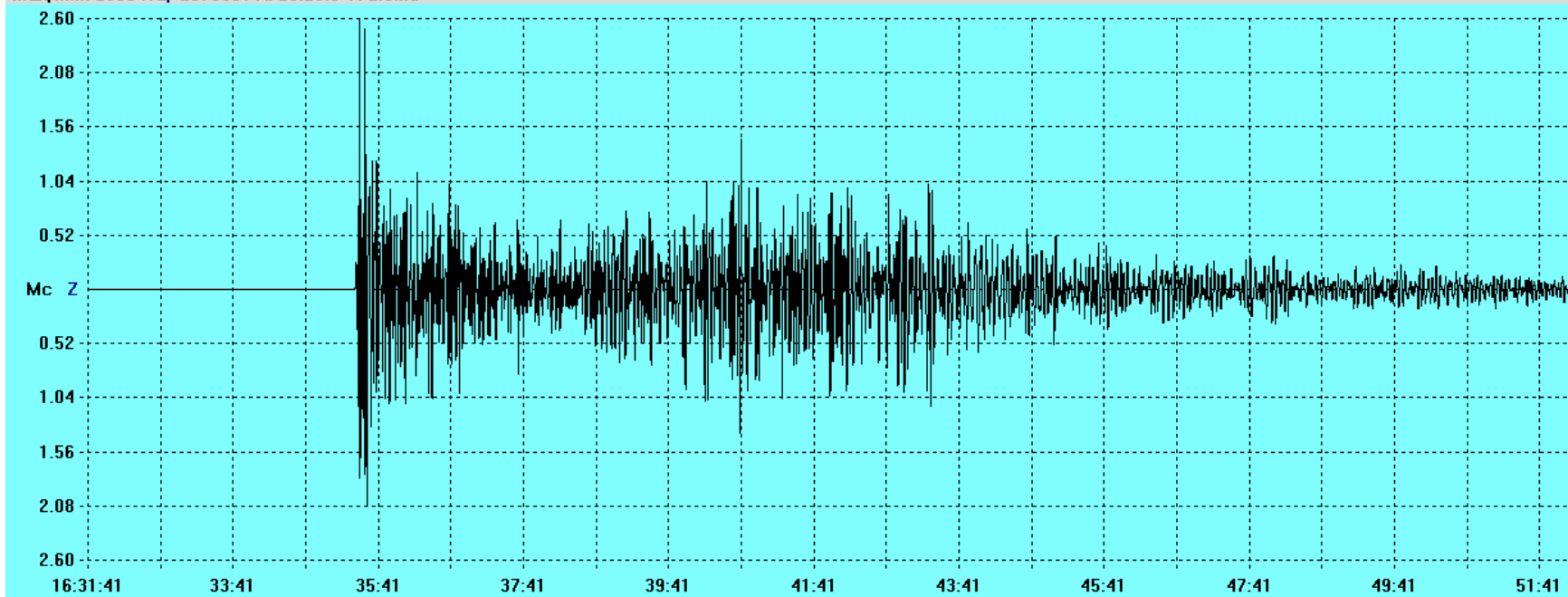


Telessismo: PDE-Q 2012 09 30 163135.97 1.93 -76.36 170 7.3 MwWCMT

Detalhes do sismograma acima:

Start: 9/30/12 15:59:59 UTC Station: SAML 8.9489S 63.1831W Samples: 144001 SPS: 39.999999

Max/Min: 2583412/-2079951 X: 20:26.0 Y: 2.6Mc



Telessismo: PDE-Q 2012 09 30 163135.97 1.93 -76.36 170 7.3 MwWCMT